



URZĄD PATENTOWY
RZECZYPOSPOLITEJ POLSKIEJ

24/2023

BIULETYN

Urzędu Patentowego

WYNAŁAZKI
I WZORY UŻYTKOWE



Urząd Patentowy RP – na podstawie art. 43 ust. 1, art. 100 oraz art. 233¹ ustawy z dnia 30 czerwca 2000 r. Prawo własności przemysłowej (Dz. U. z 2013 r. poz. 1410 z późniejszymi zmianami) oraz rozporządzenia Prezesa Rady Ministrów wydanego na podstawie art. 93 oraz art. 101 ust. 2 powołanej ustawy – dokonuje ogłoszenia w „Biuletynie Urzędu Patentowego” o zgłoszonych wynalazkach, wzorach użytkowych.

Ogłoszenia o zgłoszeniach wynalazków i wzorów użytkowych publikowane w Biuletynie podane są w układzie klasowym według Międzynarodowej Klasyfikacji Patentowej i zawierają:

- symbol Międzynarodowej Klasyfikacji Patentowej,
- numer zgłoszenia wynalazku lub wzoru użytkowego,
- datę zgłoszenia wynalazku lub wzoru użytkowego,
- datę i kraj uprzedniego pierwszeństwa oraz numer zgłoszenia lub oznaczenie wystawy,
- nazwisko i imię lub nazwę zgłaszającego,
- miejsce zamieszkania lub siedzibę oraz kraj zgłaszającego,
- nazwisko i imię wynalazcy,
- tytuł wynalazku lub wzoru użytkowego,
- skrót opisu, w razie potrzeby z figurą rysunku,
- liczbę zastrzeżeń,
- daty wprowadzenia zmian zastrzeżeń, jeśli miały miejsce.

W Biuletynie ogłasza się również informacje o międzynarodowych zgłoszeniach wynalazków i wzorów użytkowych, w zakresie których podjęto postępowanie przed Urzędem Patentowym RP działającym jako urząd wyznaczony lub wybrany oraz informacje o złożeniu tłumaczenia na język polski zastrzeżeń patentowych europejskiego zgłoszenia patentowego.

Po wykazie ogłoszeń o zgłoszeniach podaje się wykazy zgłoszeń wynalazków i wzorów użytkowych opublikowanych w danym numerze w układzie numerowym.

* * *

Od dnia ogłoszenia o zgłoszeniu wynalazku i wzoru użytkowego osoby trzecie mogą:

- 1) zapoznać się ze wskazanym opisem zgłoszeniowym wynalazku lub wzoru użytkowego, zawierającym opis, zastrzeżenia patentowe lub ochronne i rysunki oraz sporządzać z nich odpisy;
- 2) do czasu wydania decyzji w sprawie udzielenia patentu (prawa ochronnego) – zgłaszać do Urzędu Patentowego uwagi co do istnienia okoliczności uniemożliwiających jego udzielenie.

Informuje się, że kopie opisu zgłoszeniowego wynalazku lub wzoru użytkowego można zamawiać w Urzędzie Patentowym, przy czym w zamówieniu należy podać przynajmniej numer zgłoszenia. Celowe jest podanie innych danych identyfikacyjnych zamawianego materiału np. tytułu wynalazku lub wzoru użytkowego.

SPIS TREŚCI

OGŁOSZENIA O ZGŁOSZONYCH W URZĘDZIE PATENTOWYM WYNALAZKACH I WZORACH UŻYTKOWYCH

I. WYNALAZKI

DZIAŁ A Podstawowe potrzeby ludzkie	5
DZIAŁ B Różne procesy przemysłowe; transport.....	10
DZIAŁ C Chemia i metalurgia.....	12
DZIAŁ D Włókiennictwo i papiernictwo.....	15
DZIAŁ E Budownictwo; górnictwo; konstrukcje zespolone.....	15
DZIAŁ F Mechanika; oświetlenie; ogrzewanie; uzbrojenie; technika minerska	17
DZIAŁ G Fizyka.....	19
DZIAŁ H Elektrotechnika.....	21

II. WZORY UŻYTKOWE

DZIAŁ A Podstawowe potrzeby ludzkie	23
DZIAŁ B Różne procesy przemysłowe; transport.....	23
DZIAŁ F Mechanika; oświetlenie; ogrzewanie; uzbrojenie; technika minerska	24
DZIAŁ G Fizyka.....	24
DZIAŁ H Elektrotechnika.....	25

III. WYKAZY

Wykaz numerowy wynalazków zgłoszonych w trybie krajowym	26
Wykaz numerowy wzorów użytkowych zgłoszonych w trybie krajowym.....	26

IV. INFORMACJE

Informacja o złożeniu tłumaczenia na język polski zastrzeżeń patentowych europejskiego zgłoszenia patentowego	27
--	----

BIULETYN

Urzędu Patentowego

WYNAŁAZKI I WZORY UŻYTKOWE

Warszawa, dnia 12 czerwca 2023 r.

Nr 24

OGŁOSZENIA O ZGŁOSZONYCH W URZĘDZIE PATENTOWYM WYNAŁAZKACH I WZORACH UŻYTKOWYCH

Cyfrowe kody identyfikujące (wg normy WIPO ST. 9), które poprzedzają informacje o zgłoszonych do opatentowania wynalazkach oraz zgłoszonych do uzyskania prawa ochronnego wzorach użytkowych, mają następujące znaczenie:

- (21) – numer zgłoszenia wynalazku lub wzoru użytkowego
- (22) – data zgłoszenia wynalazku lub wzoru użytkowego
- (23) – dane dotyczące pierwszeństwa z wystawy (data i oznaczenie wystawy)
- (31) – numer zgłoszenia priorytetowego
- (32) – data zgłoszenia priorytetowego (data pierwszeństwa)
- (33) – kraj, w którym dokonano zgłoszenia priorytetowego (kod kraju)*
- (51) – symbol Międzynarodowej Klasyfikacji Patentowej
- (54) – tytuł wynalazku lub wzoru użytkowego
- (57) – skrót opisu w razie potrzeby z figurą rysunku
- (61) – nr zgłoszenia głównego
- (71) – nazwisko i imię lub nazwa zgłaszającego, a także miejsce zamieszkania lub siedziba oraz kraj zgłaszającego (kod kraju)*
- (72) – nazwisko i imię twórcy (ów) wynalazku lub wzoru użytkowego
- (86) – data i numer zgłoszenia międzynarodowego
- (87) – data i numer publikacji zgłoszenia międzynarodowego
- (96) – data i numer zgłoszenia europejskiego
- (97) – data i numer publikacji europejskiego zgłoszenia (lub europejskiego patentu jeżeli został udzielony)

Przed cyfrowym kodem identyfikującym (21), umieszczone są następujące literowo-cyfrowe kody rodzaju dokumentu (wg normy WIPO ST. 16):

- A1 – ogłoszenie o zgłoszeniu wynalazku
- A3 – ogłoszenie o zgłoszeniu wynalazku (na patent dodatkowy)
- U1 – ogłoszenie o zgłoszeniu wzoru użytkowego

*) nie podaje się kodu PL



I. WYNAŁAZKI

DZIAŁ A

PODSTAWOWE POTRZEBY LUDZKIE

A1 (21) 439763 (22) 2021 12 07

(51) A01B 29/04 (2006.01)
A01B 21/08 (2006.01)
A01B 49/02 (2006.01)

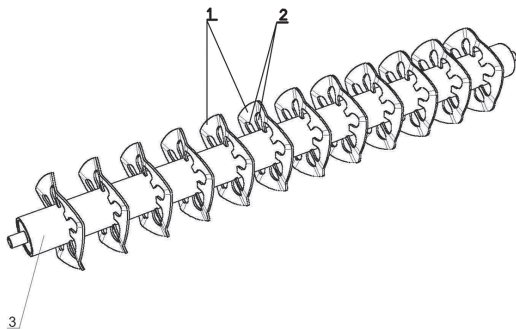
(71) DZIEKAN KRZYSZTOF PRZEDSIĘBIORSTWO-
-USŁUGOWO-PRODUKCYJNO-HANDLOWE DZIEKAN,
Zielonki

(72) DZIEKAN KRZYSZTOF

(54) **Wał uprawowy rurowy z talerzami falistymi**

(57) Wał uprawowy rurowy z talerzami falistymi, przeznaczony do osadzenia na ramie i zawierający gładki rdzeń, wzdłuż którego osadzone są równomiernie elementy uprawowe w postaci falistych talerzowych pierścieni charakteryzuje się tym, że w falistych talerzowych pierścieniach (1) na szczytach i dolnych przegięciach fali, usytuowane są wycięcia (2) umożliwiające dodatkowe przesiewanie wzruszonej ziemi.

(3 zastrzeżenia)



A1 (21) 439777 (22) 2021 12 08

(51) A01B 73/04 (2006.01)
A01B 73/02 (2006.01)
A01B 21/00 (2006.01)
A01C 7/20 (2006.01)

(71) DZIEKAN KRZYSZTOF PRZEDSIĘBIORSTWO-
-USŁUGOWO-PRODUKCYJNO-HANDLOWE DZIEKAN,
Solec-Zdrój

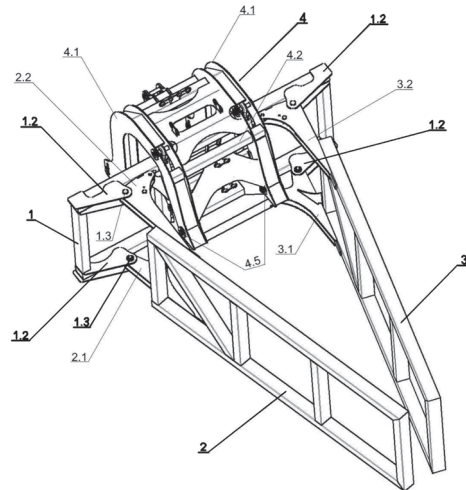
(72) DZIEKAN KRZYSZTOF

(54) **Rama składana do wielorzędowej maszyny rolniczej**

(57) Rama składana do wielorzędowej maszyny rolniczej, która zawiera segment środkowy przystosowany do współpracy z ciągnikiem rolniczym oraz segmenty boczne, przy czym rama wyposażona jest w siłowniki do składania i rozkładania segmentów bocznych oraz w zaczepy do montowania narzędzi roboczych, charakteryzuje się tym, że do segmentu środkowego (1) ramy zamocowane są trwale dwa poprzeczne wsporniki, rozpięte na całą szerokość segmentu środkowego (1) i połączone obrotowo z zawieszem (4) ramy, umocowanym do zaczepu ciągnika przy czym obrót ramy następuje za pomocą co najmniej jednego siłownika zamocowanego pomiędzy poprzecznymi wspornikami zawieszem (4) ramy,

a ponadto na końcach segmentu środkowego (1) zamocowane są wzdłużnie wsporniki (1.2) z otworami pod sworznie (1.3) do połączenia obrotowego segmentów bocznych (2) i (3).

(6 zastrzeżeń)



A1 (21) 439795 (22) 2021 12 09

(51) A01C 11/02 (2006.01)
A01C 11/00 (2006.01)
A01G 23/02 (2006.01)

(71) SIEĆ BADAWCZA ŁUKASIEWICZ
- POZNAŃSKI INSTYTUT TECHNOLOGICZNY, Poznań;
UNIWERSYTET ROLNICZY IM. HUGONA KOŁŁĄTAJA
W KRAKOWIE, Kraków

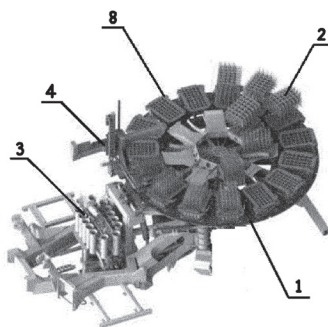
(72) SOBOCKI SEBASTIAN; MAC JAROSŁAW;
SZYCHTA MAREK; WĄCHALSKI GRZEGORZ;
DANIELAK MAREK; WOJCIECHOWSKI JACEK;
ADAMCZYK FLORIAN; TYLEK PAWEŁ;
WALCZYK JÓZEF; SZEWCZYK GRZEGORZ;
KORMANEK MARIUSZ; KIEŁBASA PAWEŁ

(54) **Zautomatyzowany zespół magazynująco-
-pobierający sadzonki, zwłaszcza mobilnego
automatu do sadzenia drzew z zakrytym
systemem korzeniowym**

(57) Przedmiotem zgłoszenia jest zautomatyzowany zespół magazynująco-pobierający sadzonki, zwłaszcza mobilnego automatu do sadzenia drzew z zakrytym systemem korzeniowym. Zgłoszenie charakteryzuje się tym, że pomiędzy układem magazynowania (1) sadzonek (2) a podzespołem buforowego magazynku (3) zamocowany jest zespół manipulatora (4), który stanowi zespół chwytaków korzystnie pneumatycznych chwytaków kątowych z mechanizmem rozsuwania elementów chwytanych, pokrytych gumą, zamocowanych szeregowo do ramki z prowadnicami i układem napędowym stanowiących mechanizm wyciągania sadzonek (2) z kasety (8) i ich przemieszczania, korzystnie z mechanizmem obrotu zespołu chwytaków, przy czym układ magazynowania (1) sadzonek (2) stanowi stół podawczy, na którym zamocowane są gniazda ustalające kasety (8) z sadzonkami (2), które to gniazda ustalające korzystnie wyposażone są w ruchome płyty pozycjonujące, natomiast podzespół buforowego magazynku (3) składa się z układu tulei, korzystnie z lejami naprowadzającymi, połączonych z układem napędowym przenośnikiem łańcuchowym, które to tuleje zamocowane są przesuwnie względem płyty ślizgowej z otworem,

w osi którego znajduje się wlot rury kostura sadzącego, zaś w strefie pracy manipulatora (4) znajduje się magazyn pustych kaset (8).

(10 zastrzeżeń)



A1 (21) 439797 (22) 2021 12 09

(51) A01C 11/02 (2006.01)

A01C 11/00 (2006.01)

A01G 23/02 (2006.01)

(71) SIĘĆ BADAWCZA ŁUKASIEWICZ - POZNAŃSKI INSTYTUT TECHNOLOGICZNY, Poznań; UNIWERSYTET ROLNICZY IM. HUGONA KOŁŁĄTAJA W KRAKOWIE, Kraków

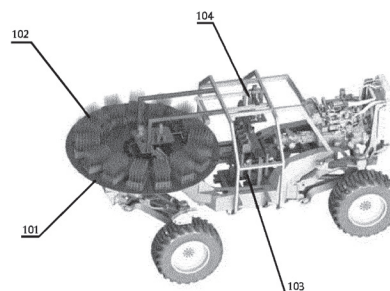
(72) ADAMCZYK FLORIAN; SZYCHTA MAREK; WOJCIECHOWSKI JACEK; SZULC TOMASZ; GOŚCIAŃSKA-ŁOWIŃSKA JULIA; TYLEK PAWEŁ; SOWA JANUSZ; WALCZYK JÓZEF; SZEWCZYK GRZEGORZ; JULISZEWSKI TADEUSZ; KIEŁBASA PAWEŁ; TADEUSIEWICZ RYSZARD

(54) **Samojezdny automat do leśnych prac odnowieniowych, zwłaszcza zalesiania terenów porolnych i rekultywowanych**

(57) Przedmiotem zgłoszenia jest samojezdny automat do leśnych prac odnowieniowych, zwłaszcza zalesiania terenów porolnych i rekultywowanych. Automat według zgłoszenia charakteryzuje się tym, że podwozie stanowi rama z aktywnym układem jezdnym A, gdzie do ramy zamocowany jest zespół roboczy B do sadzenia drzew wraz z kosturem oraz zautomatyzowany zespół C magazynujący-pobierający sadzonki, gdzie: - aktywny układ jezdny stanowią cztery skrętne koła, zamocowane do ramy poprzez elementy adaptacyjnego zawieszenia w postaci czterech podwójnych wahaczy, gdzie każde z kół posiadających niezależny napęd, korzystnie hydrauliczny, połączone jest z wodzikami poprzez zwrotnicę, natomiast każdy z wodzików połączony jest z ramą za pomocą wahacza górnego i wahacza dolnego, przy czym w strefie połączenia wodzika z wahaczem górnym, do wadzika zamocowany jest siłownik skrętu, a w miejscu połączenia wadzika z wahaczem dolnym zamocowany jest siłownik położenia wahacza, gdzie oba siłowniki położenia wahaczy co najmniej jednej osi, korzystnie tylnej osi jezdnej połączone są ze sobą przewodem hydraulicznym w sposób umożliwiający przepływ oleju między nimi, zaś układ sterowania przepływem połączony jest z czujnikiem poziomu, który to czujnik jest zamocowany do ramy; - zautomatyzowany zespół magazynujący-pobierający sadzonki składa się z magazynu (101) sadzonek, zespołu manipulatora (104), buforowego magazynku (103) i magazynu pustych kaset, gdzie pomiędzy magazynem (101) sadzonek (102), a podzespołem buforowego magazynku (103) zamocowany jest zespół manipulatora (104), który stanowi zespół chwytaków, korzystnie pneumatycznych chwytaków kątowych z mechanizmem rozsuwania elementów chwytanych, pokrytych gumą, zamocowanych szeregowo do ramki z prowadnicami i układem napędowym stanowiących mechanizm wyciągania sadzonek (102) z kasety i ich przemieszczania, korzystnie z mechanizmem obrotu zespołu chwytaków, przy czym układ magazynowania (101) sadzonek (102) stanowi stół podawczy, na którym zamocowane są gniazda ustalające kasety z sadzonkami (102), które to gniazda ustalające korzystnie wyposażone są w ruchome płyty pozycjonujące, natomiast podzespół buforowego magazynku (103)

składa się z układu tulei, korzystnie z lejami naprowadzającymi, połączonych z układem napędowym przenośnikiem łańcuchowym, które to tuleje zamocowane są przesuwnie względem płyty ślizgowej z otworem, w osi którego znajduje się wlot rury kostura sadzącego, zaś w strefie pracy manipulatora (104) znajduje się magazyn pustych kaset.

(35 zastrzeżeń)



A1 (21) 439767 (22) 2021 12 07

(51) A23L 13/50 (2016.01)

A23L 13/40 (2016.01)

A23L 13/70 (2016.01)

A23B 4/06 (2006.01)

A23B 4/16 (2006.01)

(71) STRUSIA KRAINA & MOBAX DUDKA MOTZ SPÓŁKA JAWNA, Katowice

(72) LENDZION KRZYSZTOF

(54) **Sposób wytwarzania kulinarnego mięsa strusiego**

(57) Przedmiotem zgłoszenia jest sposób wytwarzania kulinarnego mięsa strusiego na steki z dodatkiem substancji prozdrowotnych gotowego do użycia techniką sous vide i grillowania. Sposób wytwarzania kulinarnego mięsa strusiego, które najpierw obrabia się wstępnie, oraz kroi się na steki charakteryzuje się tym, że przygotowuje się marynatę o składzie procentowym: musztarda sarepska 38,80 – 47,42%, sproszkowane liście świętej bazylii 0,09 – 0,10%, miód wielokwiatowy 28,01 – 34,23%, chlorek potasu 1,25 – 1,53%, sól kuchenna 3,34 – 4,08% ocet jabłkowy 5,27 – 6,45%, standaryzowany ekstrakt z owoców aceroli 17,00% wit. C 3,67 – 4,49%, suszone owoce cytryńca chińskiego 0,17 – 0,21%, ekstrakt z cytryńca chińskiego 4:1 0,09 – 0,11%, olej gorczycowy 1,63 – 1,99%, olej rzepakowy 6,78 – 8,28%, olej z amarantusa 0,90 – 1,10%.

(3 zastrzeżenia)

A1 (21) 439768 (22) 2021 12 07

(51) A23L 13/50 (2016.01)

A23L 13/40 (2016.01)

A23B 4/023 (2006.01)

A23B 4/22 (2006.01)

A23B 4/03 (2006.01)

A23B 4/044 (2006.01)

A23B 4/06 (2006.01)

A23L 3/3418 (2006.01)

(71) STRUSIA KRAINA & MOBAX DUDKA MOTZ SPÓŁKA JAWNA, Katowice

(72) LENDZION KRZYSZTOF; WOŹNIAK ŁUKASZ GRZEGORZ

(54) **Sposób wytwarzania surowych kiełbasek z mięsa strusiego**

(57) Przedmiotem zgłoszenia jest sposób wytwarzania surowych kiełbasek ze 100% udziałem mięsa strusiego o obniżonej zawartości sodu i korzystnym profilem kwasów tłuszczowych z dodatkiem naturalnych substancji roślinnych o właściwościach prozdrowotnych. Sposób wytwarzania surowych kiełbasek z mięsa strusiego charakteryzuje się tym, że przygotowuje się surowiec o składzie: surowca mięsnego w ilości 93%, surowca tłuszczowego w ilości 7%.

(2 zastrzeżenia)

A1 (21) **439769** (22) 2021 12 07

- (51) **A23L 13/50** (2016.01)
A23L 13/40 (2016.01)
A23L 13/60 (2016.01)
A23B 4/023 (2006.01)
A23B 4/03 (2006.01)
A23B 4/044 (2006.01)
A23B 4/005 (2006.01)
A23B 4/06 (2006.01)
A23L 3/3418 (2006.01)

(71) STRUSIA KRAINA & MOBAX DUDKA MOTZ
 SPÓŁKA JAWNA, Katowice

(72) LENDZION KRZYSZTOF; WOŹNIAK ŁUKASZ GRZEGORZ

(54) **Sposób wytwarzania parówek z surowców mięsnych i tłuszczowych ze strusia**

(57) Przedmiotem zgłoszenia jest sposób wytwarzania drobno rozdrobnionych parówek ze 100% udziałem surowców mięsnych i tłuszczowych ze strusia z dodatkiem substancji roślinnych o właściwościach prozdrowotnych o obniżonej zawartości tłuszczu. Sposób wytwarzania parówek z surowców mięsnych i tłuszczowych ze strusia charakteryzujący się tym, że przygotowuje się surowiec o składzie: 62% mięsa klasy IIIB, tj. mięso ścięgniaste, tłuste, pochodzące z żeber, 38% mięsa klasy IIIA tj. mięso ścięgniaste, chude, z wykrawiania całej tuszy, ponadto przygotowuje się dodatki w ilości odniesionej do masy surowca mięsnego.

(3 zastrzeżenia)

A1 (21) **439770** (22) 2021 12 07

- (51) **A23L 13/50** (2016.01)
A23L 13/40 (2016.01)
A23L 13/60 (2016.01)
A23B 4/023 (2006.01)
A23B 4/06 (2006.01)
A23B 4/16 (2006.01)
A23L 3/3418 (2006.01)

(71) STRUSIA KRAINA & MOBAX DUDKA MOTZ
 SPÓŁKA JAWNA, Katowice

(72) LENDZION KRZYSZTOF; WOŹNIAK ŁUKASZ GRZEGORZ

(54) **Sposób wytwarzania burgerów z mięsa strusiego**

(57) Przedmiotem zgłoszenia jest sposób wytwarzania surowych burgerów ze 100% udziałem mięsa i tłuszczu strusiego o obniżonej zawartości sodu z dodatkiem substancji prozdrowotnych. Sposób wytwarzania surowych kielbasek z mięsa strusiego charakteryzuje się tym, że przygotowuje się surowiec o składzie: surowca mięsnego w ilości 91%, surowca tłuszczowego w ilości 9%.

(1 zastrzeżenie)

A1 (21) **439754** (22) 2021 12 06

- (51) **A47G 1/02** (2006.01)
A47B 96/20 (2006.01)

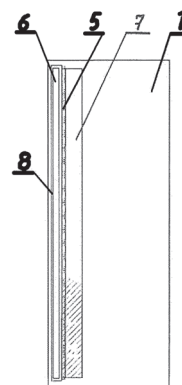
(71) STOBBA ADAM PRESTIGE GLASS, Linowiec
 (72) STOBBA ADAM

(54) **Lustrzany front meblowy**

(57) Lustrzany front meblowy ma postać lustra zewnętrznego (1), sklejonego tylną powierzchnią za pomocą co najmniej warstwy kleju z tylną powierzchnią lustra wewnętrznego. Odpowiadające sobie fragmenty tylnych powierzchni obu lusterek (1) pozbawione są lustrzanej warstwy powłokowej oraz warstwy kleju. Pomiędzy lustrem zewnętrznym (1), a lustrem wewnętrznym frontu meblowego znajduje się płyta pośrednia z tworzywa sztucznego. Jedna warstwa kleju znajduje się pomiędzy lustrem zewnętrznym (1), a wymienioną płytą pośrednią (3) oraz druga warstwa kleju (4) znajduje się pomiędzy lustrem wewnętrznym a wymienioną płytą pośrednią. Płyta pośrednia zawiera szczelinę, w której ułożona jest taśma (5) z diodami LED oraz pasek dyfuzora (6), gdzie grubość taśmy (5) z diodami LED oraz paska dyfuzora (6) jest nie większa

niż grubość płyty pośredniej. Szerokość szczeliny jest co najmniej równa szerokości łącznej tej taśmy (5) z diodami LED wraz z szerokością dyfuzora (6). Dyfuzor (6) stanowi formatkę z przezroczystego tworzywa sztucznego o grubości nie większej niż grubość płyty pośredniej. Dyfuzor (6) ustabilizowany jest w szczelinie płyty pośredniej w takiej pozycji, że ułożony jest pomiędzy fragmentami (8) lusterek (1) pozbawionymi warstwy powłokowej na tylnej powierzchni tych lusterek (1). Na powierzchniach styku dyfuzora (6) z fragmentami (8) lusterek (1) znajduje się warstwa folii rozpraszającej światło. Taśma (5) z diodami LED podłączona jest do źródła zasilania.

(5 zastrzeżeń)



A1 (21) **439755** (22) 2021 12 06

- (51) **A47J 37/06** (2006.01)
A47J 37/04 (2006.01)
A47J 37/00 (2006.01)
A47J 27/62 (2006.01)
G07F 9/10 (2006.01)

(71) WOJTYŚ MARCIN, Warszawa; GROMACKI GRZEGORZ,
 Poznań; BRYŁKOWSKI DAMIAN, Swarzędz

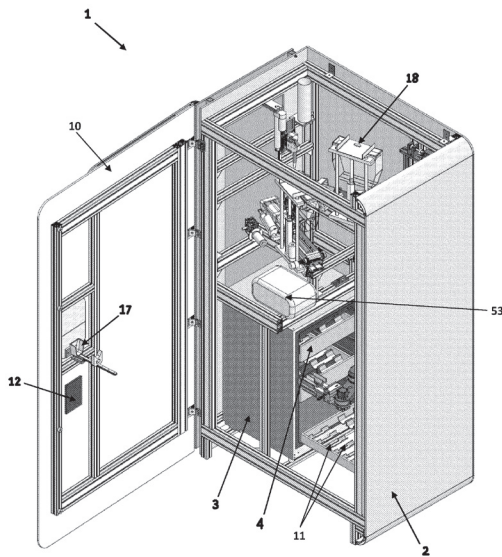
(72) WOJTYŚ MARCIN; GROMACKI GRZEGORZ;
 BRYŁKOWSKI DAMIAN

(54) **Urządzenie i sposób automatycznego przygotowania i wydawania hot-dogów**

(57) Przedmiotem zgłoszenia jest urządzenie do automatycznego przygotowania i wydawania hot-dogów składające się z obudowy wyposażonej w drzwi, wewnątrz której znajduje się system przygotowujący hot-dogi zawierający urządzenie chłodnicze, chwytak, system napędowy, sterownik, system opiekaczy oraz mechanizm aplikowania sosów, wraz z systemem samoczyszczącym charakteryzujący się tym, że na zewnątrz obudowy (2) zlokalizowany jest panel obsługowy (12), w obudowie (2) zlokalizowane jest miejsce odbioru hot-doga (17) stanowiące łącznik między zewnętrzną częścią a wnętrzem obudowy (2), a wewnątrz obudowy (2) zamontowane jest urządzenie chłodzące (3) zawierające magazyny przechowujące na bułki oraz wsad spożywczy postaci szuflad (4) z mechanizmem domykającym otwieranych i zamykanych przez dedykowany manipulator w odpowiedzi na sygnał o dokonaniu zamówienia otrzymywany przez sterownik, system opiekaczy obejmuje opiekacz dedykowany do wsadu spożywczego oraz ruchomy opiekacz do bułek, gdzie opiekacz dedykowany do parówek jest wyposażony w rolki zawierające grzałki patronowe oraz w promiennik podczerwieni (18), natomiast ruchomy opiekacz do bułek jest wyposażony w obudowę z zamykaną pokrywą oraz elementy grzewcze w postaci grzałek patronowych rozmieszczonych wokół płyt, natomiast mechanizm aplikowania sosów składa się z co najmniej jednego zbiornika sosu, co najmniej jednej ruchomej dyszy aplikującej sos oraz co najmniej jednej pompy sosów. Kolejnym przedmiotem zgłoszenia jest sposób automatycznego przygotowania i wydawania hot-dogów przez urządzenie, który polega na tym, że obejmuje następujące etapy: a) uruchomienie procesu przygotowania hot-doga po wybraniu produktu i jego opłaceniu przez użytkownika; b) przesłanie sygnału do sterownika inicjującego otwarcie szuflady (4) urządzenia chłodzącego (3) za pomocą dedykowanego manipulatora; c) pobranie przez chwytak wsadu

spożywczego i bułki z aktualnie wysuniętej szuflady (4) urządzenia chłodzącego (3); d) jednoczesne transportowanie za pomocą chwytaka wsadu spożywczego na opiekacz dedykowany do wsadu spożywczego oraz bułki na opiekacz do bułek; e) upuszczenie przez chwytak wsadu spożywczego na opiekacz dedykowany do wsadu spożywczego i bułki na opiekacz do bułek w pozycjach przeznaczonych do opiekania; f) podgrzewanie wsadu spożywczego poprzez uruchomienie rolek obrotowych z wewnętrznymi grzałkami opiekacza dedykowanego do wsadu spożywczego i opuszczenie promiennika podczerwieni (18), oraz opiekanie bułki za pomocą grzałek rozmieszczonych wokół płyt opiekacza do bułek; g) po osiągnięciu przez wsad spożywczy i bułkę zadanej temperatury następuje wyłączenie elementów grzejnych opiekacza dedykowanego do wsadu spożywczego i opiekacza do bułek; h) pozycjonowanie co najmniej jednej dyszy i aplikacja sosu przez co najmniej jedną dyszę aplikującą mechanizmu aplikowania sosów do opieczonej bułki zlokalizowanej w opiekaczu do bułek który znajduje się podczas tej operacji w pozycji pionowej; i) ustawienie osi symetrii wsadu spożywczego oraz bułki będących w opiekaczach w jednej linii poprzez powrót opiekacza do bułek do pozycji poziomej i wsunięcie wsadu spożywczego w bułkę przy pomocy ruchomego popychacza i oczyszczacza z jednoczesnym oczyszczeniem rolek opiekacza rolkowego; j) podniesienie pokrywy górnej opiekacza do bułek i pobranie przez chwytak gorącego hot-doga; k) umieszczenie serwetki w miejscu odbioru hot-doga (17) przez mechanizm dozowania i dostarczania serwetek; l) przeniesienie gorącego hot-doga do miejsca odbioru hot-doga (17); m) wydanie hot-doga klientowi z miejsca odbioru hot-doga (17).

(15 zastrzeżeń)



A1 (21) 439810 (22) 2021 12 10

(51) A47L 9/14 (2006.01)

(71) K & M GRUPA SPÓŁKA Z OGRANICZONĄ ODPOWIEDZIALNOŚCIĄ, Gruszczyn

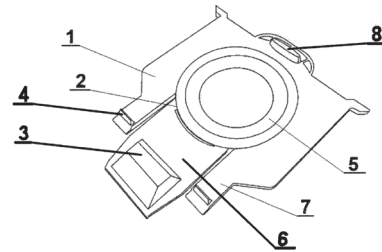
(72) PŁASKOWSKI MAREK

(54) Płytkę do instalowania worka filtracyjnego w odkurzaczu

(57) Płytkę do instalowania worka filtracyjnego w odkurzaczu, posiadająca w centralnej części otwór wlotowy z uszczelką a w przedniej części uchylny lizak służący do zamykania otworu wlotowego do króćca odkurzacza poprzez zawias oraz po obu stronach lizaka ramiona otaczające lizak, stanowiąc monolityczną całość, charakteryzuje się tym, że na uchylnym lizaku (6) znajduje się trzpień (3) pozycjonujący płytkę, służący również do blokowania zamka odkurzacza, na płycie po przeciwnej stronie lizaka nad otworem wlotowym

znajduje się trzpień (8) pozycjonujący płytkę oraz na zakończeniach obu ramion płytki znajdują się zaczepy (4) mocujące płytkę.

(1 zastrzeżenie)



A1 (21) 439803 (22) 2021 12 10

(51) A61B 5/00 (2006.01)

A61B 5/05 (2021.01)

A61B 5/378 (2021.01)

A61N 5/06 (2006.01)

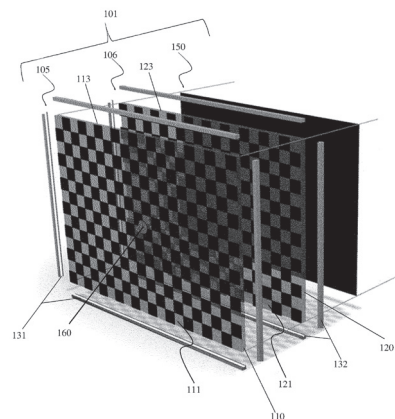
A61B 3/00 (2006.01)

(71) UNIwersytet w Białymstoku, Białystok; UNIwersytet Medyczny w Białymstoku, Białystok

(72) SZYMAŃSKI KRZYSZTOF; ŁABIENIEC ŁUKASZ; LISOWSKI ŁUKASZ; MOJSAK MAŁGORZATA NATALIA

(54) Wyświetlacz ze wzorem z podświetleniem krawędziowym do zastosowania w badaniu wzrokowym potencjałów wywołanych z jednoczesnym obrazowaniem metodą rezonansu magnetycznego

(57) Przedmiot zgłoszenia dotyczy wyświetlacza z wzorami z podświetleniem krawędziowym do stosowania w badaniu wzrokowych potencjałów wywołanych z jednoczesnym obrazowaniem metodą rezonansu magnetycznego, zawierającego co najmniej dwie płyty, pierwszą płytę (110) i drugą płytę (120), gdzie pierwsza płyta (110) i druga płyta (120) są przezroczystymi, wewnątrz odbijającymi płytami przepuszczającymi światło, gdzie każda spośród pierwszej płyty (110) i drugiej płyty (120) ma dwie główne płaskie powierzchnie równoległe do siebie i krawędzie, pierwsze źródło (131) światła i drugie źródło (132) światła rozmieszczone wzdłuż i optycznie sprzężone odpowiednio z krawędziami pierwszej płyty (113) i krawędziami drugiej płyty (123), układ sterujący źródłem światła, i wzór (111) na pierwszej płycie naniesiony na co najmniej pierwszą główną powierzchnię pierwszej płyty (110) i wzór (121) na drugiej płycie naniesiony na co najmniej pierwszą główną powierzchnię drugiej płyty (120), które są skonfigurowane tak, że wydobywają światło odpowiednio z pierwszej płyty (110) i drugiej płyty (120). Wyświetlacz zawiera ponadto nieprzezroczystą tablicę (150) tła, gdzie pierwsza płyta (110) i druga płyta (120) są ułożone w stos na nieprzezroczystej tablicy (150) tła, wszystkie z krawędziami umieszczonymi obok odpowiednich swoich krawędzi, tworząc tablicę wyświetlającą (105). Wzór (111) na pierwszej płycie jest komplementarny wobec wzoru (121) na drugiej płycie, i pierwsze źródło (131) światła jest rozmieszczone wzdłuż wszystkich krawędzi pierwszej płyty (113),



a drugie źródło światła (132) jest rozmieszczone wzdłuż wszystkich krawędzi drugiej płyty (123), a układ sterujący źródłem światła naprzemiennie rozświetlają pierwsze źródło światła (131) i drugie źródło światła (132) tak, że światło jest dostarczane tylko do wszystkich krawędzi (113) pierwszej płyty lub do wszystkich krawędzi (123) drugiej płyty kolejno.

(13 zastrzeżeń)

A1 (21) **439804** (22) 2021 12 10

- (51) **A61C 8/00** (2006.01)
- A61C 1/08** (2006.01)
- A61B 6/14** (2006.01)

- (71) JANIKOWSKI TOMASZ, Częstochowa;
- STEFAŃCZYK TOMASZ, Częstochowa
- (72) STEFAŃCZYK TOMASZ; JANIKOWSKI TOMASZ;
- ALEKSANDROWICZ PAWEŁ

(54) **Szablony operacyjne, sposób ich projektowania oraz sposób zastosowania**

(57) Przedmiotem zgłoszenia są szablony operacyjne posiadające szynę prowadzącą dopasowaną do budowy anatomicznej szczęki górnej/dziąseł pacjenta w których szyna prowadząca szablону początkowego posiada po dwa na każdą stronę dziąseł wzdłużne otwory prowadzące umieszczone po zewnętrznym obwodzie dziąseł, stanowiące prowadnice dla wykonania otworów na implanty zygomaticzne w kości łuku jarzmowego. Szyna prowadząca szablону ustalającego posiada po dwa na każdą stronę dziąseł wzdłużne otwory prowadzące umieszczone na linii dziąseł, stanowiące prowadnice dla wykonania otworów na implanty zygomaticzne w kości szczęki, oraz wymienne wzdłużne pozycjonery szablону ustalającego dopasowane do kształtu i zamierzonego położenia szczęki i kości jarzmowej względem siebie, posiadające korzystnie po dwa otwory na piny operacyjne lokujące szablón na szczęce, oraz korzystnie po dwa otwory na piny operacyjne lokujące szablón na kości jarzmowej. Szablón początkowy posiada z każdej strony boczne płaszczyzny dopasowane do budowy anatomicznej szczęki pacjenta, posiadające korzystnie po dwa otwory na piny operacyjne lokujące szablón na szczęce. Wymienne wzdłużne pozycjonery szablón ustalającego posiadają na końcach zakrzywione, haczykowate wypusty Zgłoszenie obejmuje także sposób projektowania szablónów operacyjnych oraz sposób zastosowania szablónów operacyjnych.

(5 zastrzeżeń)

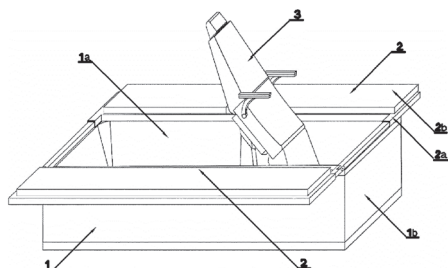
A1 (21) **439781** (22) 2021 12 08

- (51) **A61G 7/02** (2006.01)
- A61G 7/047** (2006.01)
- A61G 7/10** (2006.01)

- (71) DANECKI MARCIN CENTRUM PROMOCJI ZDROWIA MAR-MED, Tczew
- (72) DANECKI MARCIN

(54) **Łóżko rehabilitacyjno-sanitarne**

(57) Przedmiotem zgłoszenia jest łóżko rehabilitacyjno-sanitarne charakteryzujące się tym, że składa się z części sanitarnej (1), części wypoczynkowej (2) oraz platformy rehabilitacyjnej (3) do przemieszczania pacjenta, przy czym część sanitarna (1) wyposażona jest w zbiornik higieniczny wanny (1a), instalację hydrotechniczne (1b), osłonę i spust wody, a część wypoczynkowa (2)



zawiera ramę nośną zgłoszenia (2a) i materac (2b). Przedmiotem zgłoszenia jest także zastosowanie łóżka rehabilitacyjno-sanitarne-go do codziennego wypoczynku z jednoczesnym zapewnieniem opieki higienicznej i/lub rehabilitacji.

(8 zastrzeżeń)

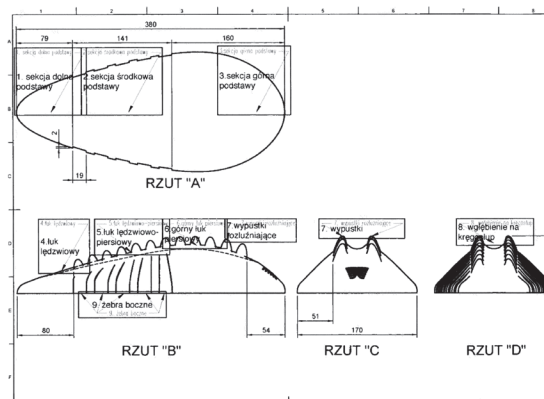
A1 (21) **439764** (22) 2021 12 07

- (51) **A61H 1/00** (2006.01)
- A61H 1/02** (2006.01)
- A61F 5/00** (2006.01)

- (71) TENSMEĐ BIOMECHANIKA SPÓŁKA Z OGRANICZONĄ ODPOWIEDZIALNOŚCIĄ, Warszawa
- (72) HUDZIKOWSKI JERZY; HUDZIKOWSKA MONIKA
- (54) **Przyrząd do przywracania fizjologicznych krzywizn kręgosłupa lędźwiowego i piersiowego**

(57) Przyrząd do przywracania krzywizn fizjologicznych kręgosłupa składający się z jednolitej, płaskiej, wyprofilowanej podstawy (1),(2),(3), podzielony na 3 sekcje o różnych wysokościach i łukowatym kształcie, tworzącym łuk lędźwiowy (4) lędźwiowo-piersiowy (5), oraz łuk piersiowy (6), na których znajduje się wgłębienie na kręgosłup (8), oraz otaczające go po obu stronach wypustki (7).

(1 zastrzeżenie)



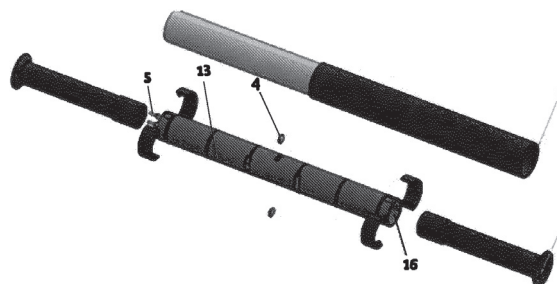
A1 (21) **439775** (22) 2021 12 07

- (51) **A61H 15/00** (2006.01)
- A61N 2/06** (2006.01)

- (71) JAGUSIAK ŁUKASZ CQB TACTICAL, Łódź
- (72) JAGUSIAK ŁUKASZ

(54) **Urządzenie do masażu ciała**

(57) Urządzenie do masażu ciała składa się z obudowy w kształcie walca z otworem przelotowym wzdłuż osi poziomej obudowy na całej długości obudowy i pianką masującą charakteryzuje się tym, że składa się z obudowy, tuby (13) i dwóch rękojeści, gdzie wewnątrz obudowy znajduje się tuba (13) o kształcie i wymiarach dopasowanych do średnicy wewnętrznego otworu przelotowego obudowy, składająca się z części górnej i części dolnej o kształcie półprścieni, z otworem przelotowym (16) tuby (13) wzdłuż osi poziomej tuby (13) oraz wewnątrz której pomiędzy dwoma rękojeściami jest ściana pionowa z co najmniej jednym magnesem (4),



a rękojeści mają kształt dopasowany do średnicy wewnętrznej otworu przelotowego (16) tuby (13) i na końcu wewnętrznym posiadają mechanizm blokujący, na ścianie wewnętrznej posiadają co najmniej jeden metalowy element (5), a ponadto tuba (13) i obudowa jest zablokowana przed wypadnięciem przez dwa zamknięte pierścienie, osadzone od strony zewnętrznej.

(11 zastrzeżeń)

A1 (21) 439748 (22) 2021 12 06

- (51) **A61K 8/06** (2006.01)
A61K 8/60 (2006.01)
A61K 8/64 (2006.01)
A61K 8/67 (2006.01)
A61K 8/92 (2006.01)
A61K 8/9783 (2017.01)
A61Q 19/00 (2006.01)

- (71) BIOGENED SPÓŁKA AKCYJNA, Łódź
 (72) GRZEGORZEWSKI ANDRZEJ

(54) **Emulsja do cery wrażliwej, zwłaszcza naczyniowej**

(57) Przedmiotem zgłoszenia jest emulsja do cery wrażliwej, zwłaszcza naczyniowej która, charakteryzuje się tym, że w skład fazy wodnej wchodzi: woda w ilości 55 – 58% woda termalna w ilości 0,5 – 1,5%, alantoina w ilości 0,05 – 0,4%, gliceryna w ilości 1 – 3%, 2-metylo-1,3-propanediol w ilości 1 – 3%, roztwór trójjetanoloaminy w ilości 0,01 – 0,5% oraz trokserutyna w ilości 0,1 – 1%, zaś w skład fazy tłuszczowej wchodzi: trójgliceryd kaprylowo-kaprynowy w ilości 2 – 4%, olej z awokado w ilości 3 – 5%, olej z oliwek w ilości 1 – 3%, ester gliceryny z kwasami cytrynowym i stearynowym w ilości 1 – 3%, masło Shea w ilości 1 – 3%, mieszanina alkoholu cetylowego i stearylowego w ilości 4 – 5% mieszanina dekametylocyklopentasiloksanu i cykloheksasiloksanu w ilości 4 – 6%, witamina E w ilości 0,5 – 1,5% i skwalan w ilości 1 – 3%; przy czym fazę wodną i tłuszczową należy ogrzać do temperatury 70°C – 85°C, przy czym po połączeniu faz całość jest kondycjonowana i homogenizowana w sposób znany ze stanu techniki, a następnie powstała mieszanina schładzana jest do temperatur 55°C – 35°C dodawane są do niej: mieszanina glikolu propylenowego z estrem mentolu i kwasu piroglutaminowego, mieszanina glikolowych ekstraktów z: oczaru wirginijskiego, kasztanowca zwyczajnego, winogrona, dziurawca zwyczajnego, arniki górskiej oraz bluszczu pospolitego; dekstran, ester tripeptydu z kwasem palmitynowym; zagęstnik znany ze stanu techniki oraz kompleks witamin A, E, C w ilości 0,01% dodawany do masy w temperaturze 35°C, przy czym tak otrzymaną masę należy wymieszać przez 5 minut i dodać kompozycję zapachową oraz substancje konserwujące znane ze stanu techniki.

(1 zastrzeżenie)

A1 (21) 439780 (22) 2021 12 08

- (51) **A61K 31/565** (2006.01)
 (71) GDAŃSKI UNIWERSYTET MEDYCZNY, Gdańsk
 (72) GÓRSKA-PONIKOWSKA MAGDALENA;
 PELIKANT-MAŁECKA IWONA; BASTIAN PAULINA;
 NIEDOSZYTKO MAREK; NIEDOSZYTKO BOGUSŁAW;
 KALINOWSKI LESZEK; WOŹNIAK MICHAŁ;
 LANGE MAGDALENA;
 GRUCHAŁA-NIEDOSZYTKO MARTA; NOWICKI ROMAN;
 GÓRSKA ALEKSANDRA

(54) **Zastosowanie 2-metoksyestradiolu w leczeniu mastocytozy**

(57) Przedmiotem zgłoszenia jest 2-metoksyestradiol do zastosowania w leczeniu mastocytozy, zwłaszcza jej postaci skórnej i/lub postaci układowej.

(4 zastrzeżenia)

DZIAŁ B

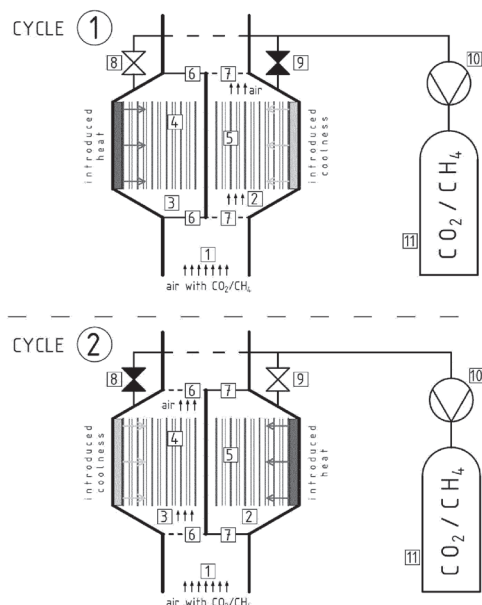
RÓŻNE PROCESY PRZEMYSŁOWE; TRANSPORT

A1 (21) 439806 (22) 2021 12 10

- (51) **B01D 53/04** (2006.01)
B01D 53/62 (2006.01)
B01D 53/72 (2006.01)
B01J 20/22 (2006.01)
 (71) INSTYTUT MECHANIKI GÓROTWORU
 POLSKIEJ AKADEMII NAUK, Kraków;
 POLITECHNIKA KRAKOWSKA
 IM. TADEUSZA KOŚCIUSZKI, Kraków
 (72) SKOCZYŁAS NORBERT; KOZIEŁ KATARZYNA;
 GAJDA ALEKSANDRA; SKIBA MARTA; ANIOŁ ŁUKASZ;
 JODŁOWSKI PRZEMYSŁAW; KUROWSKI GRZEGORZ
 (54) **Sposób i układ wychwytu gazów cieplarnianych z mieszaniny tych gazów z powietrzem**

(57) Przedmiotem zgłoszenia jest sposób wychwytu gazów cieplarnianych z mieszaniny tych gazów z powietrzem, w którym strumień gazu stanowiącego mieszaninę gazów cieplarnianych z powietrzem kieruje się do co najmniej dwóch identycznych modułów (4, 5) pracujących naprzemiennie w cyklu adsorpcja/desorpcja, przy czym w pierwszym cyklu 1 w module (5) zachodzi adsorpcja wychwytywanych komponentów gazowych, a w tym czasie drugi moduł (4) regeneruje się przez zachodzący w nim proces desorpcji komponentu gazowego, a do modułu (4), w którym zachodzi desorpcja, doprowadza się źródło ciepła, a do modułu (5), w którym zachodzi adsorpcja doprowadza się źródło chłodu, a po czasie wystarczającym do regeneracji adsorbentu rozpoczyna się drugi, symetryczny cykl pracy 2, w którym w pierwszym module (5) zachodzi desorpcja, a w drugim (4) adsorpcja wychwytywanych komponentów, która polega na tym, że mieszaninę gazów cieplarnianych z powietrzem kieruje się do dwóch identycznych modułów (4, 5) zawierających adsorbent w postaci cienkiej warstwy sieci metaloorganicznej MOF zsynchronizowanej bezpośrednio na wymienniku ciepła będącym mechanicznym szkieletem modułu wykonanym z materiału o wysokim przewodnictwie cieplnym. Przedmiotem zgłoszenia jest też układ wychwytu gazów cieplarnianych z mieszaniny tych gazów z powietrzem.

(3 zastrzeżenia)



A1 (21) 439800 (22) 2021 12 10

- (51) **B01J 37/02** (2006.01)
B01J 37/08 (2006.01)
B01J 37/16 (2006.01)
B01J 31/18 (2006.01)
B01J 23/28 (2006.01)
B01J 23/75 (2006.01)
B01J 21/04 (2006.01)
C01C 1/04 (2006.01)

(71) ZACHODNIOPOMORSKI UNIWERSYTET TECHNOLOGICZNY W SZCZECINIE, Szczecin

(72) ADAMSKI PAWEŁ; ZGRZEBNICKI MICHAŁ;
ALBRECHT ALEKSANDER; JURKOWSKI ARTUR;
WOJCIECHOWSKA AGNIESZKA;
MOSZYŃSKI DARIUSZ(54) **Sposób wytwarzania katalizatora syntezy amoniaku**

(57) Przedmiotem zgłoszenia jest sposób wytwarzania katalizatora syntezy amoniaku, który, polega na otrzymaniu azotków kobaltu i molibdenu na nośniku, charakteryzuje się tym, że nośnik tlenek glinu impregnuje się wodnymi roztworami sześciowodnym azotanem(V) kobaltu(II) oraz czterowodnym molibdenianem(VI) amonu, oba o stężeniu od 0,01 do 0,2 M. Impregnację prowadzi się pod obniżonym ciśnieniem w zakresie 100-200 mbar, przy stałym stosunku molowym kobaltu do molibdenu $n_{Co}/n_{Mo}=1$, w temperaturze w zakresie 40-60°C, aż do całkowitego usunięcia wody. Po impregnacji materiał suszy się, a następnie podgrzewa w atmosferze amoniaku i poddaje procesowi aktywacji poprzez wygrzewanie w atmosferze amoniaku w temperaturze 700°C. Czas trwania procesu aktywacji wynosi 2 godziny. Następnie materiał schładza się do temperatury pokojowej w przepływie amoniaku i przepłukuje azotem. W ten sposób otrzymuje się katalizator syntezy amoniaku o sumarycznym stężeniu kobaltu i molibdenu od 3 do 90% wagowych.

(5 zastrzeżeń)

A1 (21) 439805 (22) 2021 12 10

- (51) **B29C 64/245** (2017.01)
B33Y 30/00 (2015.01)
B29C 64/118 (2017.01)

(71) VSHAPER SPÓŁKA Z OGRANICZONĄ ODPOWIEDZIALNOŚCIĄ, Tajęcina

(72) NITEK SEWERYN; KRUPIŃSKI WIKTOR;
SZYMAŃSKI TOMASZ(54) **Metoda przyrostowego wytwarzania obiektów**

(57) Przedmiotem zgłoszenia jest metoda przyrostowego wytwarzania obiektów, przeznaczona zwłaszcza do wytwarzania elementów o skomplikowanej geometrii, która charakteryzuje się tym że wysokość i/lub szerokość ścieżki ulegała zmianie w zależności od geometrii drukowanego wyrobu przy czym regulacja szerokości ścieżki następuje poprzez zmianę szybkości przesuwu głowicy w zakresie od 0% do 300% względem prędkości wytłaczania materiału i/lub odległości głowicy od obiektu w przedziale od 0 do 150% średnicy dyszy drukującej i/lub ilości materiału podanego do dyszy drukującej w zakresie od 0% do 150% wartości ekstruzji wymaganej do ułożenia maksymalnej wysokości warstwy, przy czym regulacje te są sterowane za pomocą mikrokontrolera.

(4 zastrzeżenia)

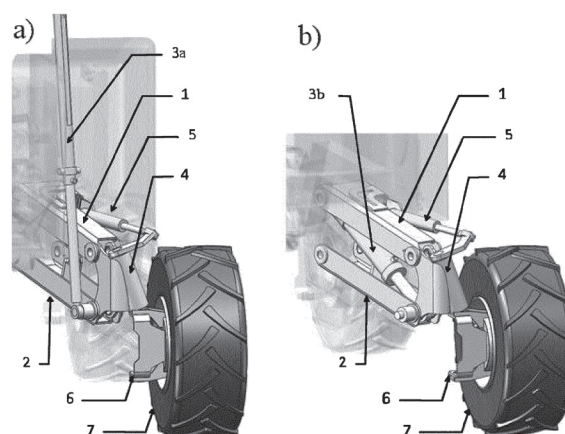
A1 (21) 439796 (22) 2021 12 09

- (51) **B60G 21/06** (2006.01)
B60G 17/033 (2006.01)
B60G 5/00 (2006.01)
B62D 21/00 (2006.01)

(71) SIEĆ BADAWCZA ŁUKASIEWICZ - POZNAŃSKI INSTYTUT TECHNOLOGICZNY, Poznań;
UNIWERSYTET ROLNICZY IM. HUGONA KOŁŁĄTAJA W KRAKOWIE, Kraków(72) SZYCHTA MAREK; WOJCIECHOWSKI JACEK;
DANIELAK MAREK; ADAMCZYK FLORIAN;
MAC JAROSŁAW; KAPELA DAWID; TYLEK PAWEŁ;
SOWA JANUSZ; JULISZEWSKI TADEUSZ(54) **Aktywne podwozie kołowe pojazdu samobieżnego, zwłaszcza automatu do sadzenia drzew**

(57) Przedmiotem zgłoszenia jest aktywne podwozie kołowe pojazdu samobieżnego, zwłaszcza automatu do sadzenia drzew, mającego zastosowanie w szczególności podczas zalesiania terenów porolnych i rekultywowanych. Podwozie charakteryzuje się tym, że cztery skrętne, napędzane koła (7), zamocowane są do ramy poprzez elementy adaptacyjnego zawieszenia w postaci czterech podwójnych wahaczy (1, 2), gdzie każde z kół (7) posiada niezależny napęd, korzystnie hydrauliczny i połączone jest z wodzikami (4) poprzez zwrotnicę (6), natomiast każdy z wodzików (4) połączony jest z ramą za pomocą wahacza górnego (1) i wahacza dolnego (2), przy czym w strefie połączenia wozdika (4) z wahaczem górnym (1), do wozdika (4) zamocowany jest siłownik skrętu (5), a w miejscu połączenia wozdika (4) z wahaczem dolnym (2) zamocowany jest siłownik położenia wahacza, gdzie siłowniki (3a) położenia wahaczy kół (7) co najmniej jednej osi, korzystnie osi tylnej, połączone są ze sobą przewodem hydraulicznym w sposób umożliwiający przepływ oleju między nimi, zaś układ sterowania przepływem oleju jest z czujnikiem poziomym, który to czujnik jest zamocowany do ramy.

(7 zastrzeżeń)



A1 (21) 439751 (22) 2021 12 06

- (51) **B60M 1/18** (2006.01)
B22F 10/28 (2021.01)
B22F 10/20 (2021.01)

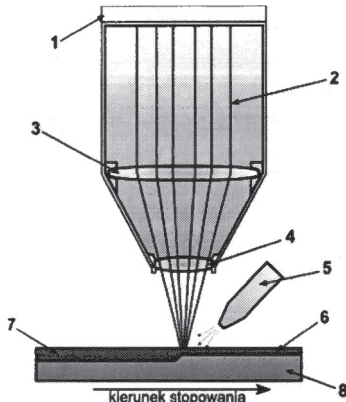
(71) POLITECHNIKA ŚLĄSKA, Gliwice

(72) KONIECZNY JAROSŁAW; LABISZ KRZYSZTOF

(54) **Sposób modyfikacji warstwy wierzchniej przewodniczących izolatorów sekcyjnych**

(57) Przedmiotem zgłoszenia jest przedstawiony na rysunku sposób modyfikacji warstwy wierzchniej przewodniczących izolatorów sekcyjnych polega na tym, że nadtapia się powierzchnię materiału poddanego obróbce, w postaci przewodniczących izolatorów wykonanych z miedzi elektrolitycznej za pomocą lasera włóknowego o mocy wyjściowej < 5000 [W], o mocy stosowanej < 4000 [W], natężeniu przepływu gazu < 20 l/min, szybkość przetapiania > 0,5 m/min oraz równomiernym rozkładzie energii na powierzchni ogniska wiązki laserowej tworząc jeziorko ciekłego metalu, po czym do warstwy wierzchniej jeziorka wprowadza się cząstki metali pierwiastków, węgli metali Cr lub Ni o granulacji do 50 μm oraz cząstki ceramiczne typu WC czy Al₂O₃ o granulacji do 50 μm, przy czym stosuje się nadmuch gazu obojętnego, korzystnie argonu o natężeniu przepływu

gazu w zakresie od 15 l/min do 20 l/min, dyszą skierowaną przeciw-
nie do kierunku przetapiania i przeprowadza się proces stopowania.
(1zastrzeżenie)



A1 (21) 439779 (22) 2021 12 08

(51) B62D 3/12 (2006.01)

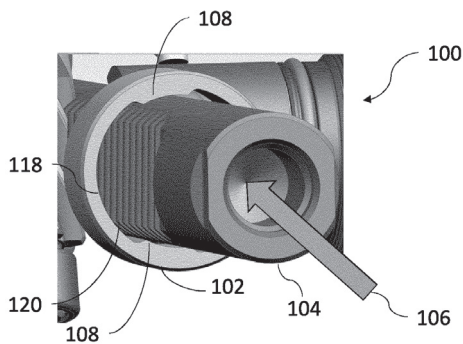
(71) Steering Solutions IP Holding Corporation, Saginaw, US

(72) ZAKRZEWSKI ADAM; NAKIELSKI MARCIN J.;
BUJAK JAROSŁAW B.; KUBIK KONRAD

(54) Ogranicznik zginania zębataki kierowniczej

(57) Zespół kierowniczy (100) zawierający obudowę, która zawiera występ ukierunkowujący. Zespół kierowniczy zawiera również stalowy pierścień wsporczy (102) umieszczony w obudowie za pomocą pasowania na wcisk. Stalowy pierścień wsporczy zawiera dwie cechy łączenia zębataki przystosowane do zapobiegania zginaniu zębataki kierowniczej (104), trzecią cechę łączenia zębataki przystosowaną do łączenia zębataki kierowniczej oraz zapobiegania rozłączaniu zębataki i zębataki przekładni kierowniczej, gdy nie ma jarzma zębataki oraz zaczep ukierunkowujący przystosowany do łączenia w sposób dopasowany występu ukierunkowującego obudowy dla zapewnienia właściwego ukierunkowania pierścienia wsporczego w obudowie.

(9 zastrzeżeń)



A1 (21) 439774 (22) 2021 12 08

(51) B66B 17/04 (2006.01)

B66B 17/34 (2006.01)

E21D 7/00 (2006.01)

(71) AKADEMIA GÓRNICZO-HUTNICZA
IM.STANISŁAWA STASZICA W KRAKOWIE, Kraków

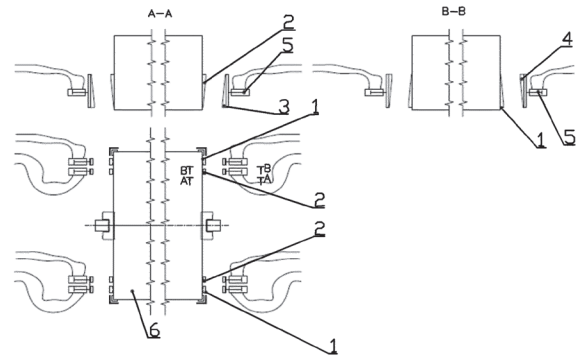
(72) KONEWECKI ARTUR; KWAŚNIEWSKI JERZY;
MOLSKI SZYMON

(54) Urządzenie do stabilizacji naczyń wyciągowych

(57) Urządzenie do stabilizacji naczyń wyciągowych, składające się z układu mechanicznego, układu hydraulicznego oraz układu sygnalizacji położenia naczynia, charakteryzuje się tym, że wyposażone jest w trwale mocowane kliny (1, 2) zabudowane na naczyniu wyciągowym(6), które są dociskane przez kliny ruchome (3, 4), za-

budowane w obszarze wyładunku/załadunku naczynia wyciągowego (6), dociskane siłownikami hydraulicznymi (5). Na każdym pięttrze naczynia wyciągowego (6) zabudowane są kliny (1, 2). Podczas załadunku do naczynia wyciągowego (6), zespół klinów (2, 3) blokuje naczynie wciągowe (6), w kierunku zgodnym z wydłużaniem lin nośnych. Podczas wyładunku z naczynia wyciągowego (6), zespół klinów (1, 4) blokuje naczynie wciągowe (6), w kierunku zgodnym ze skracaniem się lin nośnych w przypadku ich odciążenia. Podczas wyładunku i załadunku naczynia wyciągowego (6) zespoły klinów (1, 4) oraz zespoły klinów (2, 3), stabilizują naczynie wciągowe i niwelują zjawisko wydłużania i skracania lin nośnych ze względu na zmianę obciążenia. Urządzenie umożliwia załadunek naczyń wyciągowych w sposób bezpieczny, eliminując przy tym zjawisko wydłużenia i skracania liny pod obciążeniem poprzez wyeliminowanie drgań wzdłużnych naczynia wyciągowego wywołanego wydłużaniem się lin nośnych podczas jego załadunku ciężkim materiałem i zmieniającego się obciążenia naczynia wyciągowego.

(4 zastrzeżenia)



DZIAŁ C

CHEMIA I METALURGIA

A1 (21) 439745 (22) 2021 12 06

(51) C01C 1/04 (2006.01)

(71) ZACHODNIOPOMORSKI UNIWERSYTET
TECHNOLOGICZNY W SZCZECINIE, Szczecin

(72) MORAWSKI ANTONI WALDEMAR;
NARKIEWICZ URSZULA; ĆMIELEWSKA KATARZYNA;
KUSIAK-NAJMAN EWELINA; PEŁECH IWONA;
STACIWA PIOTR; EKIERT EWA; SIBERA DANIEL;
WANAG AGNIESZKA MARIA; GANO MARCIN

(54) Sposób wytwarzania amoniaku i reaktor
do wytwarzania amoniaku

(57) Przedmiotem zgłoszenia jest sposób wytwarzania amoniaku, według zgłoszenia, z gazowego źródła azotu i pary wodnej metodą fotokatalityczną, który charakteryzuje się tym, że cyrkulujące źródło azotu zawierające parę wodną, pochodzącą z wody umieszczonej w reaktorze, o prężności właściwej dla zadanej temperatury reakcji syntezy, przepuszcza się przez złożo fotokatalityczne, w postaci tkaniny szklanej pokrytej fotokatalizatorem TiO_2 , umieszczone nad powierzchnią lustra wody. Źródłem wodoru do syntezy amoniaku jest pochodząca z fotokatalitycznego rozkładu wody w postaci pary wodnej pochodząca z ciekłej wody umieszczonej w reaktorze. Złożo fotokatalityczne naświetla się promieniowaniem UV-Vis. Reakcję

syntezy amoniaku prowadzi się od temperatury otoczenia do 50°C. Wytwarzany amoniak absorbuje się w wodzie do jonów NH_4^+ . Zgłoszenie obejmuje też reaktor do wytwarzania amoniaku, według zgłoszenia, z gazowego źródła azotu i pary wodnej metodą fotokatalityczną, wyposażony w pompę, lampę UV, zbiornik na wodę, który charakteryzuje się tym, że wewnątrz reaktora bezpośrednio nad powierzchnią lustra wody i w najniższej położonej części reaktora ma złożone fotokatalityczne, w postaci tkaniny szklanej pokrytej fotokatalizatorem TiO_2 , oraz ma lampę do naświetlania promieniowaniem UV-Vis.

(7 zastrzeżeń)

A1 (21) 439791 (22) 2021 12 09

(51) C04B 28/20 (2006.01)

C04B 28/22 (2006.01)

C04B 18/14 (2006.01)

C04B 14/06 (2006.01)

(71) POLITECHNIKA WARSZAWSKA, Warszawa

(72) JASKULSKI ROMAN

(54) Zastosowanie drobnoziarnistego odpadowego żużlu pomiedziowego do wytwarzania wyrobów silikatowych, sposób wytwarzania wyrobów silikatowych z dodatkiem odpadowego żużlu pomiedziowego oraz wyrób silikatowy wytworzony tym sposobem

(57) Przedmiotem zgłoszenia jest zastosowanie drobnoziarnistego odpadowego żużlu pomiedziowego jako dodatku do masy surowcowej do wytwarzania autoklawizowanych wyrobów silikatowych, sposób wytwarzania wyrobów silikatowych z dodatkiem odpadowego żużlu pomiedziowego oraz wyrób silikatowy o poprawionej wytrzymałości i mniejszym przewodnictwie cieplnym, względem wyrobu silikatowego bez zastosowania drobnoziarnistego odpadowego żużlu pomiedziowego.

(4 zastrzeżenia)

A1 (21) 439792 (22) 2021 12 09

(51) C04B 28/20 (2006.01)

C04B 28/22 (2006.01)

C04B 18/16 (2006.01)

C04B 14/06 (2006.01)

(71) POLITECHNIKA WARSZAWSKA, Warszawa

(72) JASKULSKI ROMAN

(54) Zastosowanie drobnoziarnistego odpadowego pyłu ceglanego do wytwarzania wyrobów silikatowych, sposób wytwarzania wyrobów silikatowych z dodatkiem odpadowego pyłu ceglanego oraz wyrób silikatowy wytworzony tym sposobem

(57) Przedmiotem zgłoszenia jest zastosowanie drobnoziarnistego odpadowego pyłu ceglanego jako dodatku do masy surowcowej do wytwarzania autoklawizowanych wyrobów silikatowych, sposób wytwarzania wyrobów silikatowych z dodatkiem odpadowego pyłu ceglanego oraz wyrób silikatowy o poprawionej wytrzymałości i mniejszym przewodnictwie cieplnym, względem wyrobu silikatowego bez zastosowania drobnoziarnistego odpadowego pyłu ceglanego.

(5 zastrzeżeń)

A1 (21) 439786 (22) 2021 12 08

(51) C07C 47/02 (2006.01)

C07C 47/19 (2006.01)

C07B 61/00 (2006.01)

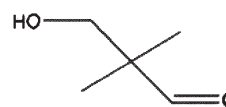
(71) GRUPA AZOTY ZAKŁADY AZOTOWE KĘDZIERZYN SPÓŁKA AKCYJNA, Kędzierzyn-Koźle;
POLITECHNIKA ŚLĄSKA, Gliwice

(72) CHROBOK ANNA; SIEWNIAK AGNIESZKA; LATOS PIOTR; WIĘCŁAWIK JUSTYNA; PANKALLA EWA; DOROSZ URSZULA; MICHALIK REGINA; MONASTERSKA EDYTA

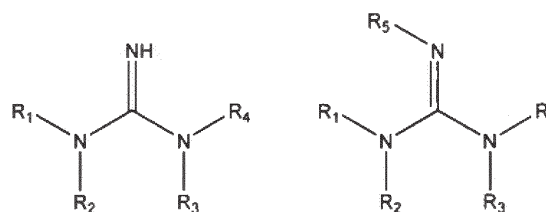
(54) Sposób otrzymywania aldehydu hydroksypiwalowego

(57) Przedmiotem zgłoszenia jest sposób otrzymywania aldehydu hydroksypiwalowego o wzorze ogólnym 1, w reakcji kondensacji krzyżowej aldehydu izomasłowego z formaldehydem, który polega na tym, że aldehyd izomasłowy poddaje się reakcji kondensacji krzyżowej z 35 – 40% roztworem formaldehydu, gdzie stosunek molowy aldehydu izomasłowego do formaldehydu wynosi od 1:1 o 4:1, w obecności 0,1 – 100% molowych katalizatora o wzorze ogólnym 2, gdzie R_1, R_2, R_3, R_4 oznaczają grupy alkilowe o budowie liniowej i rozgałęzionej $\text{C}_n\text{H}_{2n+1}$, gdzie $n=1-18$ w stosunku do formaldehydu, reakcję prowadzi się w temperaturze 273,15 – 373,15 K, w czasie 5 min – 20 godzin, następnie otrzymany z mieszaniny poreakcyjnej aldehyd hydroksypiwalowy oddziela się dodając 10% – 400% masowych aldehydu izomasłowego, warstwę wodną zatęży się, a katalizator zawraca ponownie do kolejnego cyklu reakcyjnego, przy czym warstwę górną zawierającą substraty, produkt oraz produkty uboczne oczyszcza się na drodze ekstrakcji w temperaturze 273,15 – 343,15 K.

(2 zastrzeżenia)



Wzór 1



Wzór 2

A1 (21) 439798 (22) 2021 12 09

(51) C07C 51/31 (2006.01)

C07C 55/14 (2006.01)

C07C 51/00 (2006.01)

(71) POLITECHNIKA ŚLĄSKA, Gliwice

(72) LISICKI DAWID; ORLIŃSKA BEATA; PECKH KAMIL;
PABICH EWELINA

(54) Sposób otrzymywania kwasu adypinowego z cykloheksano-1,2-diolu

(57) Przedmiotem zgłoszenia jest sposób otrzymywania kwasu adypinowego który charakteryzuje się tym, że cykloheksano-1,2-diol utlenia się gazami zawierającymi tlen, w polarnym rozpuszczalniku, a reakcję prowadzi się w obecności katalizatora związków metali przejściowych, w ilości 0,01-20% mol., w przeliczeniu na surowiec, kwasu azotowego(V) w ilości 0,1-200% mol. w przeliczeniu na surowiec, w temperaturze 40-200°C w czasie 2-48h. Jako czynnik utleniający stosuje się powietrze, powietrze wzbogacone w tlen lub inny gaz zawierający tlen. Katalizator związków metali przejściowych stosuje się w ilości korzystnie 1% mol. Jako polarny rozpuszczalnik stosuje się kwas octowy, propionowy, wodę lub acetonitryl.

(8 zastrzeżeń)

A1 (21) 439753 (22) 2021 12 06

(51) C07C 59/305 (2006.01)

C07C 51/347 (2006.01)

(71) POLITECHNIKA ŚLĄSKA, Gliwice

(72) BABILAS DOROTA; DYDO PIOTR;
MILEWSKA MAŁGORZATA; MILEWSKI ANDRZEJ

(54) Sposób otrzymywania kwasu diglikolowego

(57) Przedmiotem zgłoszenia jest sposób otrzymywania kwasu diglikolowego, który polega na tym, że kwas chlorooctowy rozpuszcza się w wodzie, a następnie dodaje się do niego kwas octowy, który

cza się w mieszaniu rozpuszczalników organicznych o wzajemnym stosunku objętościowym od 1 do 1,8, otrzymując roztwór od 5% wag. do 10% wag., korzystnie 8% wag. kwasu chlorooctowego, po czym wprowadza się od 3,0 do 3,5 mola, korzystnie 3,3 mola drobno zmielonego wodorotlenku potasu lub wodorotlenku sodu, korzystnie wodorotlenku sodu, względem każdego 1 mola kwasu chlorooctowego, intensywnie miesza od 310 rpm do 750 rpm korzystnie 600 rpm, w czasie 24h do 72h, korzystnie 48h w temperaturze 15°C do 25°C, korzystnie 20°C, następnie dekantuje się nadmiar rozpuszczalników z nad osadu, a wydzielony produkt rozpuszcza w wodzie, korzystnie stosując ekwiwalentne objętościowo ilości wody względem mieszaniny rozpuszczalników organicznych, zakwasza wprowadzając od 3,0 mola do 3,5 mola kwasu mineralnego względem zastosowanego wodorotlenku, korzystnie 3,3 mola 1 M kwasu solnego, otrzymany roztwór wodny odsala się metodą elektrodializy przy 100 A/m² do 400 A/m², korzystnie 300 A/m² nie przekraczając 2 V/parę membran, odparowuje wodę w temperaturze od 30°C do 60°C, korzystnie 40°C pod obniżonym ciśnieniem, od 42 mbar do 194 mbar, korzystnie 72 mbar.

(3 zastrzeżenia)

A1 (21) **439799** (22) 2021 12 09(51) **C07D 213/807** (2006.01)**B01J 23/75** (2006.01)**B01J 23/00** (2006.01)

(71) POLITECHNIKA ŚLĄSKA, Gliwice

(72) LISICKI DAWID; ORLIŃSKA BEATA; MAREK ADAM; NOWAK KINGA

(54) **Sposób otrzymywania mieszaniny kwasu nikotynowego i pikolinowego**

(57) Przedmiotem zgłoszenia jest który sposób otrzymywania mieszaniny kwasu nikotynowego i pikolinowego, który cechuje się tym, że utlenianie 5-etylo-2-metylopirydyny, prowadzi się gazami zawierającymi tlen i ozon, dodaje się polarny rozpuszczalnik, a reakcję prowadzi się w obecności łącznie trzech katalizatorów w postaci związków metali przejściowych w ilości 0,01-100% mol. w przeliczeniu na surowiec, katalizatora posiadającego aniony bromkowe w ilości 0,01-100% mol. w przeliczeniu na surowiec oraz N-hydroksyftalimidu w ilości 0,01-20% mol., w przeliczeniu na surowiec, przy stosunku ozonu do tlenu w zakresie 1 mg / l do 10000 mg / l, w temperaturze 20-300°C w czasie 1-24h. Jako czynnik utleniający stosuje się powietrze, powietrze wzbogacone w tlen, tlen lub inny gaz zawierający tlen w mieszaniu z ozonem. Utlenianie prowadzi się przy stosunku ozonu do tlenu korzystnie w zakresie 700 mg / l.

(12 zastrzeżeń)

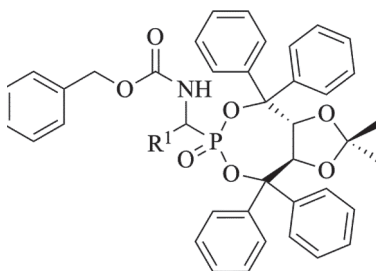
A1 (21) **439746** (22) 2021 12 06(51) **C07F 9/6574** (2006.01)

(71) POLITECHNIKA WROCŁAWSKA, Wrocław

(72) OLSZEWSKI TOMASZ; GBUBELE JOSEPH DANIEL

(54) **Sposób wytwarzania aminofosfonianów**

(57) Przedmiotem zgłoszenia jest sposób otrzymywania aminofosfonianów o wzorze ogólnym (I) w którym R¹ oznacza grupę C6-C14 arylową, która może być podstawiona co najmniej jedną grupą C1-C6 alkilową lub atomem fluorowca, który polega na tym, że H-fosfonian będący pochodną -(4R,5R)-2,2-dimetylo-a,α,α'-tetrafenylo-1,3-dioksolano-4,5-dimetanolu (TADDOL-u)



Wzór 1

poddaje się reakcji z α-amidosulfonem w obecności wodorotlenku potasu w tetrahydrofuranie w temperaturze -78°C przez 120 h, a finalne produkty izoluje się na drodze prostej chromatografii.

(3 zastrzeżenia)

A1 (21) **439742** (22) 2021 12 05(51) **C12P 7/42** (2006.01)**C08F 2/04** (2006.01)**B01D 21/26** (2006.01)

(71) UNIwersytet Warszawski, Warszawa

(72) DZIEWIT ŁUKASZ; STYCZYŃSKI MICHAŁ

(54) **Sposób otrzymywania wysoko oczyszczonego polimeru kwasu homogentyzynowego**

(57) Zgłoszenie dotyczy uniwersalnego sposobu otrzymywania wysoko oczyszczonego polimeru kwasu homogentyzynowego (piomelaniny), obejmującego etap sprawnego oddzielenia komórek mikroorganizmów i części makrocząstek od kwasu homogentyzynowego, etap szybkiej polimeryzacji kwasu homogentyzynowego do piomelaniny oraz etap wydajnej izolacji czystego polimeru metodami fizykochemicznymi.

(11 zastrzeżeń)

A1 (21) **439788** (22) 2021 12 09(51) **C12Q 1/6895** (2018.01)**C12Q 1/6858** (2018.01)**C12Q 1/6844** (2018.01)

(71) INSTYTUT BADAWCZY LEŚNICTWA, Sękocin Stary

(72) PRZYBYLSKI PAWEŁ; TERESA ANNA

(54) **Sposób określania genotypu próbki roślinnej kultywarów topoli, zestaw testowy i zastosowanie zestawu testowego**

(57) Przedmiotem zgłoszenia jest sposób określania genotypu próbki roślinnej pochodzącej z topoli, obejmujący pobranie próbki DNA, amplifikację polimorficznych markerów SSR z wykorzystaniem par starterów, a następnie identyfikację polimorficznych alleli ekspresji SSR obecnych w pobranej próbce, który charakteryzuje się tym, że stosuje się następujące pary starterów SEQ ID Nr: 1 i 2, 3 i 4, 5 i 6, 7 i 8, 9 i 10, 11 i 12, 13 i 14, 15 i 16, 17 i 18, 19 i 20, 21 i 22. Przedmiotem zgłoszenia jest także zestaw testowy do przeprowadzania procedury reakcji łańcuchowej polimerazy w celu określania genotypu próbki roślinnej pochodzącej z topoli, obejmujący efektywną ilość par starterów oligonukleotydowych oraz wzorec kultywaru topoli oraz zastosowanie tego zestawu do określania genotypu próbki roślinnej pochodzącej z kultywaru topoli wybranego z grupy zawierającej: Blanc du Poitou, Androscoggin, Flachslanden, Forndorf, Fritzi_Pauley, Gelrica, Geneva, Grandis, Hybrida 194, Hybrida 275, Hybrida 277, I-214, Löns, Marilandica, Oxford, Robusta, Robusta Gostynin, Serotina, Virginiana de Frignicourt.

(23 zastrzeżenia)

Starter	Powierzenie landemone	Sekwencja startera F	Sekwencja startera R	Znaknik fluorescencyjny
WPMS14	CGT2K-3	CAGCGGAGGCACCTGAGAATC	GCCTCTGAGGAGACTGCCTTGAC	6fam
PTB2	TGG8	AGAAGAAGCTCGAAGATGAAGAATC	ACTGACAAAACCTCAACTCAACIA	vic
ORPM30	TCV	ATGTCCACACCCAGATGAG	CCGGCTTCATTAAGAAGTTGG	pet
WPMS15	CC1H-3	CACAAAACCAATGAAGAAGAC	AGAGGGTTTGGGGGTTGACTA	ned
ORPM206	GCT7	CCGTGGCCATGACTCTTTA	GAACCCATTTGGTCAAGAT	6fam
ORPM12	CC16	GTGGGATCAATCAAAAAGA	CCCATATCAAACTTTGAAAAA	vic
ORPM149	AT4_CT4	GTCTCTGCCACATGATCCAA	CCCGAAATGGTCAACACAG	pet
ORPM50	A7TA4A6	AAAAGATTTGGGGGGGTTTAC	GCCTCAAGGGAAATCTCAA	ned
WPMS01	GA20	AACCACTATGCCACTCTT	AACTAACCTGATTCCTCAAA	6fam
WPMS05	GT27	TTCTTTTCAACTGCCTAACCT	TGATCCATAACAGACAGAACIA	vic
Pc2	CTCA11	CGCTATCACTCTCTCTGATCTC	CCATGCTGGGATGAATATGTAAC	vic

Klon	ORPM10	PTB2	Pc2	WPMS01	WPMS05	WPMS14	WPMS15	ORPM149	ORPM206	ORPM30	ORPM50											
Blanc du Poitou	226	226	212	94	94	113	131	279	281	245	272	193	211	220	220	192	207	192	192	200	200	
Androscoggin	216	242	206	212	112	114	121	121	287	287	239	251	187	190	214	214	207	213	192	192	196	202
Flachslanden	226	226	209	215	100	100	113	149	281	301	254	278	193	211	218	218	192	207	192	192	200	204
Forndorf	228	228	212	215	94	98	113	125	279	279	245	260	193	211	220	220	192	207	192	192	200	218
Fritz_Pauley	224	224	212	227	98	98	113	113	277	277	236	260	199	199	214	214	204	204	192	192	196	196
Gelrica	228	250	212	215	94	98	113	131	279	279	236	254	193	211	220	220	207	207	192	192	198	218
Geneva	216	226	206	206	98	112	121	151	299	301	236	251	187	211	212	212	201	207	192	192	200	202
Grandis	228	232	209	212	98	100	113	141	277	279	245	284	193	211	220	220	192	207	192	192	200	200
Hybrida 194	210	216	206	206	98	112	119	121	297	301	245	248	190	211	212	212	192	207	195	195	202	204
Hybrida 275	216	224	206	212	108	112	121	121	287	287	239	245	187	190	214	216	207	213	192	192	196	202
Hybrida 277	210	216	206	209	100	112	119	121	297	301	236	245	187	211	212	212	201	207	195	195	200	202
I-214	232	236	209	215	94	98	113	141	285	289	230	248	193	211	220	220	192	207	192	192	200	200
Löns	232	238	212	215	94	94	113	137	277	279	251	272	193	211	218	218	192	207	192	192	200	200
Marilandica	228	232	209	212	94	100	113	137	281	289	245	254	193	211	220	220	192	207	192	192	200	200
Oxford	210	216	206	206	98	112	119	121	297	297	245	248	190	211	212	212	201	207	195	195	202	202
Robusta	236	236	209	212	94	100	113	149	287	281	269	278	193	211	230	230	192	207	192	192	198	202
Robusta_Gostynin	236	236	209	212	94	100	113	149	287	281	269	278	193	211	230	230	192	207	192	192	198	202
Serotina	228	242	209	212	100	102	113	137	277	277	245	254	193	211	218	218	192	207	192	192	200	200
Virginiana de Frignicourt	226	226	212	215	94	100	113	131	277	277	245	272	193	211	218	218	192	207	192	192	198	198

DZIAŁ D

WŁÓKIENICTWO I PAPIERNICTWO

A1 (21) 439773 (22) 2021 12 08

(51) *D06N 7/00* (2006.01)
B32B 23/00 (2006.01)
B32B 27/00 (2006.01)
E04F 15/18 (2006.01)

(71) SERAFIN TOMASZ, Mysłówice

(72) SERAFIN TOMASZ

(54) Sposób wytwarzania podkładów okładzin podłogowych

(57) Sposób wytwarzania podkładów okładzin podłogowych polega na tym, że wypełniacz i lepiszcze miesza się w mieszalniku wyposażonym w komorę o przekroju elipsoidalnym, gdzie jako wypełniacz stosuje się materiały pochodzące z przetwarzania odpadów stałych wybranych z grupy obejmującej: gumę, szkło poliuretan, polipropylen, bawełnę, mieszanki bawełny z poliestrem lub odpady wydobywcze z hałd przykopalnianych, natomiast jako lepiszcze stosuje się poliuretan PU, powstały w reakcji pomiędzy poliolem roślinnym, izocyjanianem i modyfikatorami sieciowania, po czym otrzymaną masę plastyczną nakłada się na nośnik z włókniny, tkaniny, folii poliuretanowej, folii polietylenowej lub folii poliestrowej, podgrzewa się i suszy.

(6 zastrzeżeń)

DZIAŁ E

BUDOWNICTWO; GÓRNICTWO;
KONSTRUKCJE ZESPOLONE

A1 (21) 439757 (22) 2021 12 06

(51) *E01D 22/00* (2006.01)
E04C 3/04 (2006.01)
E04B 1/18 (2006.01)

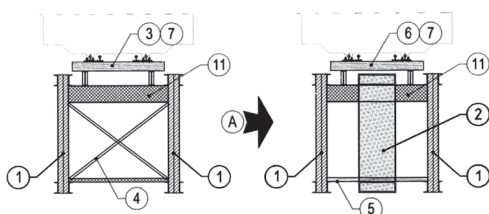
(71) GALEWSKI TYMON GTI, Gdańsk

(72) GALEWSKI TYMON

(54) Sposób remontowania lub przebudowy mostu dźwigarowego

(57) Przedmiotem wynalazku jest sposób remontowania lub przebudowy mostu dźwigarowego charakterystyczny tym, że między starymi dźwigarami (1) stawia się przynajmniej jeden nowy dźwigar (2) o profilu bocznym zbliżonym do profilu bocznego starych dźwigarów (1), stare dźwigary (1) poddaje się konserwacji.

(8 zastrzeżeń)



A1 (21) 439787 (22) 2021 12 09

(51) *E03C 1/04* (2006.01)
F16K 31/02 (2006.01)
A61K 9/20 (2006.01)

(71) DEANTE SPÓŁKA Z OGRANICZONĄ

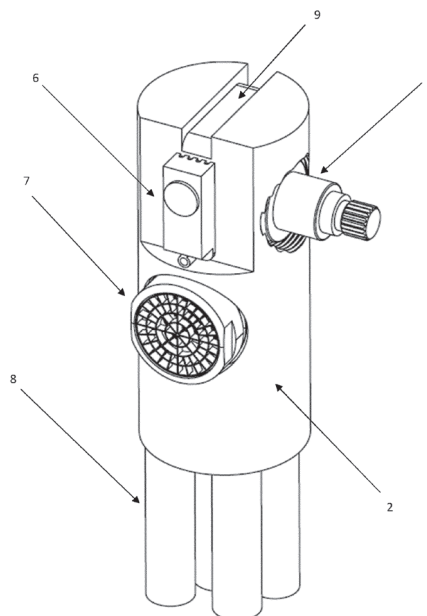
ODPOWIEDZIALNOŚCIĄ, Zgierz

(72) ŁÓJ MICHAŁ; PRZEWODEK WITOLD

(54) Bateria wodociągowa

(57) Przedmiotem zgłoszenia jest sensorowa bateria wodociągowa mająca zastosowanie zwłaszcza w kuchni lub łazience. Bateria posiada obudowę w kształcie dowolnego profilu zamkniętego, wewnątrz której umieszczony jest rdzeń o odpowiednim do obudowy kształcie wykonany z materiału przeznaczonego do kontaktu z wodą pitną, korzystnie z mosiądzu, stali nierdzewnej albo tworzywa sztucznego. Bateria posiada obudowę o przekroju okrągłym z umieszczonym wewnątrz obudowy rdzeniem o przekroju okrągłym (2). Rdzeń o przekroju okrągłym (2) ma głowicę mieszaczkową (5) umieszczoną w gnieździe, czujnik bezdotykowy elektrozaworu (6) umiejscowionego na płaskiej ścianie aeratora (7) umieszczonego w gnieździe aeratora oraz wężyki przyłączeniowe (8). Wewnątrz rdzenia o przekroju okrągłym (2) są kanały wewnętrzne od wężyków przyłączeniowych (8), poprzez przyłącza, do gniazda głowicy mieszaczkowej, od gniazda głowicy mieszaczkowej do elektrozaworu (6) poprzez przyłącze i od elektrozaworu (6) do gniazda aeratora poprzez przyłącze. W górnej części rdzenia o przekroju okrągłym (2) jest rowek (9) dla przewodów czujnika bezdotykowego (6).

(4 zastrzeżenia)



A1 (21) 439772 (22) 2021 12 08

(51) *E04F 13/14* (2006.01)
E04F 13/18 (2006.01)

(71) GREINPLAST SPÓŁKA Z OGRANICZONĄ

ODPOWIEDZIALNOŚCIĄ, Krasne

(72) POGORZELEC PAWEŁ; BETLEJA GRZEGORZ;

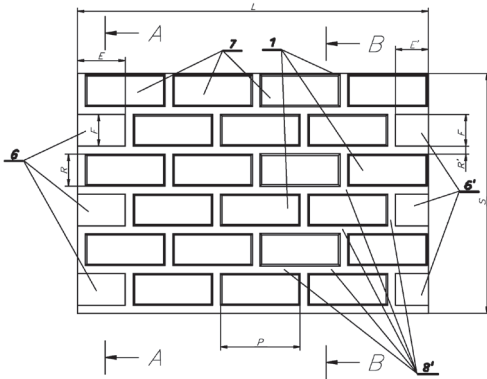
GEMBORYS ANDRZEJ; ZIELIŃSKI ŁUKASZ

(54) Panel okładziny elewacyjnej imitujący cegły, wyposażony w elementy łącznikowe oraz sposób montażu okładziny elewacyjnej do ściany budynku z zastosowaniem tego panelu i jego elementów łącznikowych

(57) Przedmiotem zgłoszenia jest panel okładziny elewacyjnej imitujący cegły, wyposażony w elementy łącznikowe oraz sposób montażu okładziny elewacyjnej do ściany budynku z zastosowaniem tego panelu i jego elementów łącznikowych. Panel okładziny

elewacyjnej imitujący cegły, wyposażony w elementy łącznikowe, który charakteryzuje się tym, że stanowi go prostokątny płytowy rdzeń (1) z zatopioną wewnątrz niego siatką zbrojącą, który na przedniej jego powierzchni ma wykonane płaskie odsadzenie z prostokątnymi wpustami (6 i 6') pod listwowe elementy łącznikowe oraz z profilowymi odsadzeniami (7) usytuowanymi poziomo i równolegle względem siebie w kilku rzędach, pomiędzy którymi utworzone są poziome i pionowe wpusty imitujące wraz z górnymi powierzchniami płaskiego odsadzenia (5) fugi (8') tego panela o głębokościach równych grubości profilowych odsadzeń (7), przy czym prostokątne wpusty (6) usytuowane są na jednych końcach krótszego boku płytowego rdzenia (1) pomiędzy profilowymi odsadzeniami (7) i każdy z nich posiada długość równą sumie połowy długości profilowego odsadzenia (7) i połowy szerokości fugi (8'), zaś prostokątne wpusty (6') usytuowane są na drugich końcach krótszego boku płytowego rdzenia (1) pomiędzy profilowymi odsadzeniami (7) i każdy z nich posiada długość równą różnicy połowy długości profilowego odsadzenia (7) i połowy szerokości fugi (8') a ponadto pierwszy rząd profilowych odsadzeń (7) oddalony jest od jednego dłuższego boku płytowego rdzenia (1) o odległość równą szerokości fugi (8'), zaś ostatni rząd tych odsadzeń usytuowany jest nad krawędzią drugiego dłuższego boku płytowego rdzenia (1), a ponadto płytowy rdzeń (1) oraz połączone z nim nierozłącznie płaskie odsadzenie wraz z profilowymi odsadzeniami (7) tworzą jeden monolit o łącznej grubości wynoszącej $Z = 5 \text{ mm} - 12 \text{ mm}$.

(10 zastrzeżeń)



A1 (21) 439783 (22) 2021 12 08

- (51) E04F 17/02 (2006.01)
E04F 17/04 (2006.01)
B28B 1/14 (2006.01)
C04B 28/02 (2006.01)
F23J 11/00 (2006.01)
E04G 11/00 (2006.01)

(71) Holcim Technology Ltd, Holberbank, CH
(72) BOROŃSKI JAKUB; WITKOWSKI PAWEŁ;
ZDZIECHOWSKI JĘDRZEJ

(54) System i sposób budowania budynków

(57) System do budowania budynków zawierający co najmniej jeden szyb dymny i/lub wentylacyjny, charakteryzujący się tym, że szyb dymny i/lub wentylacyjny jest wykonany z dymoszczelnego i/lub ognioodpornego betonu, przy czym szyb dymny i/lub wentylacyjny jest wylewany in situ lub ex situ. Sposób budowania budynków z szybem dymnym i/lub wentylacyjnym, przy czym szyb dymny i/lub wentylacyjny jest wykonany z dymoszczelnego i/lub ognioodpornego betonu, charakteryzujący się tym, że dymoszczelny i/lub ognioodporny beton jest mieszany z co najmniej składnika cementowego, składnika kruszywowego, wody i co najmniej jednego plastyfikatora w celu wytworzenia betonu.

(16 zastrzeżeń)

A1 (21) 439784 (22) 2021 12 09

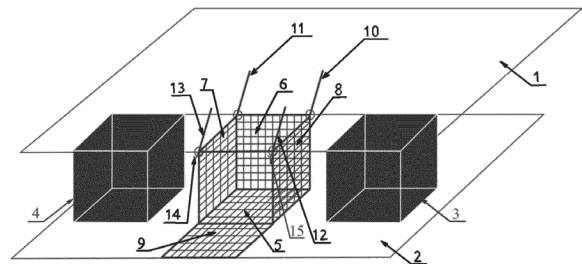
- (51) E21D 15/48 (2006.01)
E21D 11/15 (2006.01)

(71) AKADEMIA GÓRNICZO-HUTNICZA
IM. STANISŁAWA STASZICA W KRAKOWIE, Kraków
(72) SKRZYPKOWSKI KRZYSZTOF

(54) Sztuczny filar, zwłaszcza międzykomorowy

(57) Przedmiotem zgłoszenia jest sztuczny filar, zwłaszcza międzykomorowy, utworzony z przestrzennej konstrukcji wypełnionej skalą płoną, mający zastosowanie w górnictwie podziemnym, zwłaszcza w kopalniach rud metali nieżelaznych i surowców chemicznych. Przestrzenna konstrukcja wykonana jest z elastycznej siatki i zawiera boczne ściany (6, 7, 8) i zamykającą boczną ścianę (9) oraz dno (5), spoczywające na spągu (2), zaś u góry boczne ściany (6, 7, 8) i zamykająca boczna ściana (9) są podwieszane do stropu (1) za pomocą kotew (10, 11, 12, 13), przy czym kotwy (12, 13) podwieszające zamykającą ścianę boczną (9) wyposażone są w dodatkowe elementy mocujące (14).

(7 zastrzeżeń)



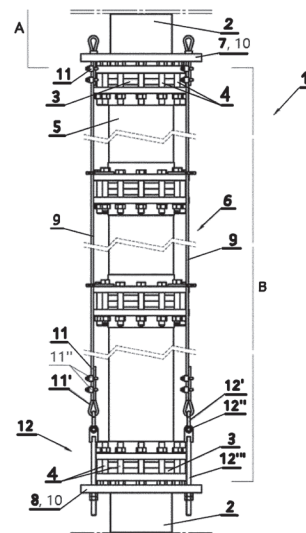
A1 (21) 439762 (22) 2021 12 07

- (51) E21F 13/00 (2006.01)
F16L 23/00 (2006.01)
E21F 15/00 (2006.01)

(71) CARBOSPEC M. JAŚNIOK SPÓŁKA JAWNA, Zabrska
(72) JAŚNIOK MIROSŁAW

(54) Pionowy rurociąg górniczy

(57) Zgłoszenie dotyczy budowy pionowego rurociągu górniczego, znajdującego zastosowanie w szybach, w których pierwotnie nie zainstalowano rurociągu do transportu wody, solanki, roztworów wodnych, lub cieczy agresywnych chemicznie. Pionowy rurociąg górniczy (1) zbudowany jest z co najmniej jednego odcinka (A) stalowych rur (2) sztywnych, do którego od dołu przyłączony jest za pomocą typowego złącza kołnierzewego (3) ze śrubami (4) co najmniej jeden odcinek (B) rur elastycznych (5). Na odcinku (B) rur elastycznych (5) zbudowany jest stabilizator liniowości (6), zbudowany z poziomej, górnej obejmy (7) i poziomej, dolnej obejmy (8), a także łączących je cięgien (9) oraz regulatorów naciągu (12) zamocowanych pod poziomą, dolną obejmą (8). Korzystnie regulator naciągu (12) zbudowany jest z zakucia (11), cięgna (9) z sercówką (11')



zamocowaną do U-kształtnej obejmy (12') sworzniem (12'') oraz pręta (12''') od dołu nagwintowanego, na który nakręcona jest jedna samohamowna, lub dwie nakrętki rozpierane o dolną powierzchnię poziomej, dolnej obejmy (8). Pionowy rurociąg górniczy (1) może mieć na swej długości kilka odcinków (B), a pozioma, górna obejma (7) oraz pozioma, dolna obejma (8) może mieć różne kształty.

(13 zastrzeżenia)

Data wprowadzenia zmiany zastrzeżeń: 2022 07 26

DZIAŁ F

MECHANIKA; OŚWIETLENIE; OGRZEWANIE; UZBROJENIE; TECHNIKA MINERSKA

A1 (21) 439776 (22) 2021 12 07

(51) F02K 9/64 (2006.01)
F02K 7/02 (2006.01)
F23R 7/00 (2006.01)

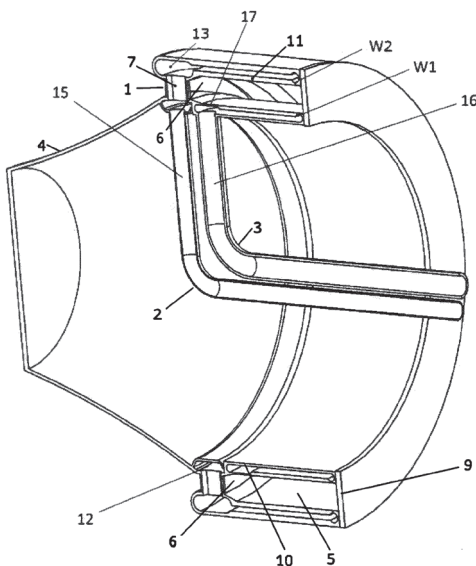
(71) SIEĆ BADAWCZA ŁUKASIEWICZ-INSTYTUT LOTNICTWA,
Warszawa

(72) WOLAŃSKI PIOTR; KAWALEC MICHAŁ

(54) Detonacyjny silnik raketowy

(57) Przedmiotem zgłoszenia jest detonacyjny silnik raketowy zawierający pierścieniową komorę detonacyjną (5) połączoną z dyszą Aerospike (4) oraz przewody (2, 3) doprowadzające składniki materiału pędnego, połączone z komorą detonacyjną (5). Komora detonacyjna (5) ma dno (9) łączące ścianę wewnętrzną (10) i ścianę zewnętrzną (11), pomiędzy którymi utworzony jest wylot (6). Na wylocie (6) komory detonacyjnej (5) znajdują się rozmieszczone równomiernie co najmniej trzy elementy centrujące (1) łączące ścianę wewnętrzną (10) i ścianę zewnętrzną (11) komory detonacyjnej (5), przy czym w elementach centrujących znajdują się kanały chłodzące (7) połączone z jednym z przewodów (2, 3) doprowadzających składniki materiału pędnego do komory detonacyjnej (5).

(4 zastrzeżenia)



A1 (21) 439790 (22) 2021 12 09

(51) F16B 7/04 (2006.01)
F16B 7/18 (2006.01)
E04B 1/58 (2006.01)
A47F 5/14 (2006.01)
F16B 12/20 (2006.01)
F16B 12/32 (2006.01)

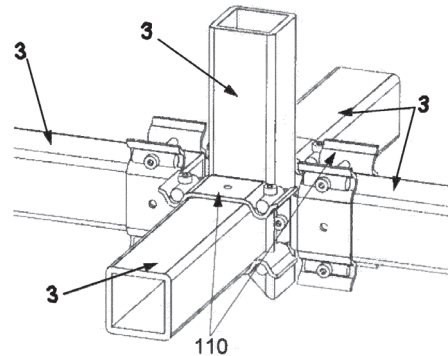
(71) ŁAZUR ZBIGNIEW, Lublin

(72) ŁAZUR ZBIGNIEW

(54) Zespół łączący do łączenia profili konstrukcyjnych o przekrojach poprzecznych prostokątnych i obrotowych

(57) Zespół łączący do łączenia profili konstrukcyjnych o przekrojach poprzecznych, prostokątnych i obrotowych, charakteryzuje się tym, że zawiera pierwszy element łączący, którego powierzchnia przylegania ma kształt powierzchni zewnętrznej profilu konstrukcyjnego (3) i przylega oraz obejmuje powierzchnię zewnętrzną profilu konstrukcyjnego (3) oraz drugi element łączący, który również ma kształt powierzchni zewnętrznej profilu konstrukcyjnego (3) i przylega oraz obejmuje powierzchnię zewnętrzną profilu konstrukcyjnego (3). Elementy łączące pierwszy i drugi położone są symetrycznie względem płaszczyzny symetrii profilu konstrukcyjnego (3) oraz zawierają zagięcia profilowe umieszczone po obu stronach łączników i wychodzące stycznie z ich krawędzi bocznych wzdłuż obejmowanego profilu konstrukcyjnego (3) przy czym zagięcia profilowe mają kształt wklęsły względem powierzchni przylegania, w których znajdują się otwory przelotowe na śruby ściągające elementy łączące pierwszy i drugi.

(30 zastrzeżeń)



A1 (21) 439765 (22) 2021 12 07

(51) F16C 17/10 (2006.01)
F16C 32/04 (2006.01)
F16J 15/53 (2006.01)
F16C 39/06 (2006.01)

(71) AKADEMIA GÓRNICZO-HUTNICZA

IM. STANISŁAWA STASZICA W KRAKOWIE, Kraków

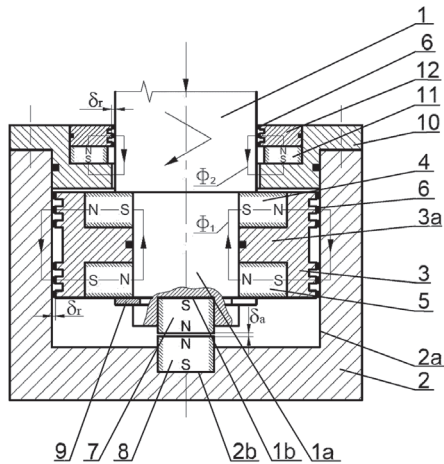
(72) OCHOŃSKI WŁODZIMIERZ; FILIPOWICZ MARIUSZ;
PAPIS-FRĄCZEK KAROLINA; PODLASEK SZYMON

(54) Hybrydowe łożysko wzdłużno-poprzeczne wałka

(57) Hybrydowe łożysko wzdłużno-poprzeczne wałka, w którym tulejka kołnierzowa (3) osadzona na czopie (1a) wałka (1), ma występy uszczelniające wykonane na jej zewnętrznej powierzchni walcowej, zaś do obu powierzchni bocznych kołnierza (3a) tulejki kołnierzowej (3) przylegają pierścieniowe magnesy trwałe (4,5) spolaryzowane promieniowo. Magnes trwałe (4) ustawiony jest prostopadle w układzie biegunów S-N, a magnes trwałe (5) ustawiony jest prostopadle w układzie biegunów N-S, względem powierzchni wałka (1). We wnęce (1b) wykonanej na powierzchni czołowej czopa (1a) wałka (1) i we wnęce (2b) wykonanej na powierzchni czołowej gniazda (2a) obudowy (2), umocowane są walcowe magnesy trwałe (7,8) spolaryzowane osiowo ustawione względem siebie biegunami jednoimiennymi N. Ciecz magnetyczna (6) znajduje się w szczelinach promieniowych (δ_i) pomiędzy występami uszczeln-

nającymi usytuowanymi na zewnętrznej walcowej powierzchni tulejki kołnierzowej (3), a wewnętrzną cylindryczną powierzchnią gniazda (2a) obudowy (2) oraz w szczelinach promieniowych (δ_r) pomiędzy występami uszczelniającymi wielokrawędziowego nabiegunnika (12), a powierzchnią wałka (1).

(1 zastrzeżenie)



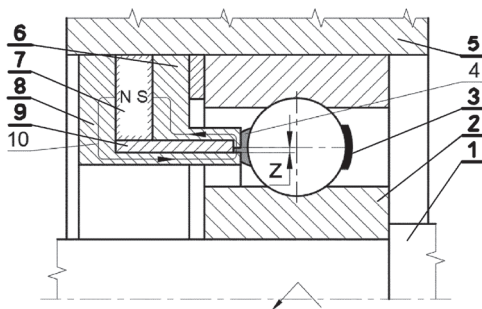
A1 (21) 439794 (22) 2021 12 09

- (51) F16C 32/04 (2006.01)
- F16C 33/10 (2006.01)
- F16C 33/66 (2006.01)

- (71) AKADEMIA GÓRNICZO-HUTNICZA
IM. STANISŁAWA STASZICA W KRAKOWIE, Kraków
- (72) SZCZĘCH MARCIN
- (54) Układ smarowania cieczą magnetyczną
łożyska tocznego

(57) Układ smarowania cieczą magnetyczną łożyska tocznego z koszykiem wykonanym z tworzywa sztucznego zawierający magnesy trwałe, dwa nabiegunniki, tuleję oraz ciecz magnetyczną charakteryzuje się tym, że na wału obrotowym (1) osadzone jest łożysko toczne (2) z koszykiem wykonanym z tworzywa sztucznego (3). Nabiegunnik (6) i nabiegunnik (8) w kształcie litery L osadzone są wewnątrz korpusu (5), przy czym ich ramiona skierowane są w stronę elementów tocznych łożyska (2). Do powierzchni bocznych nabiegunników (6) i (8) przylega pierścieniowy magnes trwały (7) spolaryzowany w kierunku osiowym, z kolei pomiędzy powierzchniami walcowymi nabiegunników (6) i (8) znajduje się tuleja (9) o właściwościach niemagnetycznych. Nabiegunnik (6), który znajduje się bliżej zewnętrznego pierścienia łożyska tocznego (2) posiada występ skierowany w stronę zewnętrznej cylindrycznej powierzchni nabiegunnika (8), formując szczelinę (z).

(1 zastrzeżenie)



A1 (21) 439793 (22) 2021 12 09

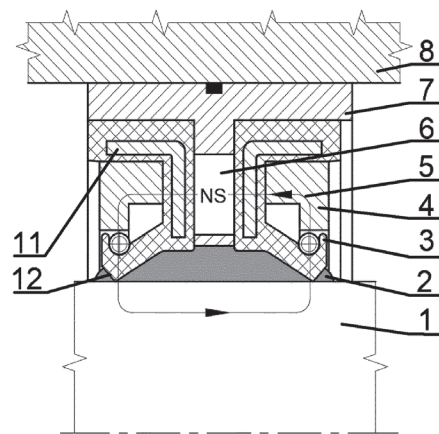
- (51) F16J 15/24 (2006.01)
- F16J 15/32 (2016.01)
- F16J 15/43 (2006.01)
- F16J 15/54 (2006.01)

- (71) AKADEMIA GÓRNICZO-HUTNICZA
IM. STANISŁAWA STASZICA W KRAKOWIE, Kraków
- (72) SZCZĘCH MARCIN

- (54) Podwójne uszczelnienie promieniowe wału
smarowane cieczą magnetyczną

(57) Podwójne uszczelnienie promieniowe wału smarowane cieczą magnetyczną zawierające dwa uszczelnienia promieniowe (3), tuleję kołnierzową (7), magnesy trwałe (6), nabiegunniki (4) charakteryzuje się tym, że wewnątrz korpusu (8) znajduje się wykonana z materiałów o właściwościach niemagnetycznych tuleja kołnierzowa (7). W jej wnękach symetrycznie względem kołnierza osadzone są uszczelnienia promieniowe (3) z metalową ferromagnetyczną wkładką (11) i wargą uszczelniającą (12) uszczelnienia promieniowego (3) i przylegają do powierzchni bocznych kołnierza tulei kołnierzowej (7), a od strony wnęki pierścieni promieniowych, do ich powierzchni bocznych, przylega nabiegunnik (4) w kształcie tulei z kołnierzem. Wewnętrzna powierzchnia cylindryczna nabiegunnika (4) o najmniejszej wartości średnicy znajduje się nad wargą uszczelniającą (12) uszczelnienia promieniowego (3), a wałem (1) co zapewnia smarowanie i szczelność układu. Magnesy trwałe (6) spolaryzowane w kierunku osiowym umieszczone są w otworach rozmieszczonych obwodowo w kołnierzu tulejki kołnierzowej (7).

(2 zastrzeżenia)



A1 (21) 439747 (22) 2021 12 06

- (51) F23G 7/06 (2006.01)
- B01D 53/30 (2006.01)
- B01D 53/46 (2006.01)

- (71) INSTYTUT NAFTY I GAZU - PAŃSTWOWY INSTYTUT
BADAWCZY, Kraków
- (72) JANOCHA ANDRZEJ
- (54) Sposób zagospodarowania odpadu gazowego
o niskiej zawartości metanu

(57) Przedmiotem zgłoszenia jest sposób zagospodarowania odpadu gazowego o niskiej zawartości metanu powstałego po uzyskaniu z surowego biogazu paliwa gazowego o zawartości metanu powyżej 70% charakteryzuje się tym, że w pierwszym etapie wytwarzany odpad zostaje skierowany do buforowego zbiornika, w którym wykonuje się pomiar zawartości metanu, po czym otrzymany wynik zostaje przekazany do układu sterowania strumieniami gazowymi za pomocą dmuchaw, które kierują je do jednostki kogeneracyjnej CHP, do której trafia z buforowego zbiornika magazynowego wcześniej sprawdzony gaz, a jednocześnie na podstawie otrzymanego wyniku pomiaru zawartości metanu, poprzez układ sterowniczy następuje dodanie do jednostki kogeneracyjnej wzbogaconego powietrza, a ilość wprowadzanego strumienia wzbogaconego powietrza w tlen jest uzależniona od zawartości metanu w odpadzie, i z uwzględnieniem około

20% nadmiaru w stosunku reakcji stechiometrycznej wynosi 50% +/- 5% objętościowych w stosunku do wielkości strumienia odpadu o zawartości metanu 10%, poprzez 90% +/-5% objętościowych w stosunku do wielkości strumienia odpadu o zawartości metanu 20%, i 120% +/-5% objętościowych w stosunku do wielkości strumienia odpadu o zawartości metanu 25%, oraz 160% +/-5% objętościowych w stosunku do wielkości strumienia odpadu o zawartości metanu 35%, a powietrze do spalania dostarczone jest do jednostki kogeneracyjnej z generatora wzbogacającego powietrze w tlen, w którym następuje przygotowanie pożądanego składu mieszanki tlenowo-powietrznej, zaś na wylocie spalin umieszczony jest czujnik tlenku węgla i w przypadku wykrycia stężenia progowego powyżej 100 ppm obecności tlenku węgla, 2 jednostka sterownicza otrzymuje sygnał, który to zwiększa ilość powietrza wzbogaconego w tlen wdmuchiwanego do jednostki kogeneracyjnej.

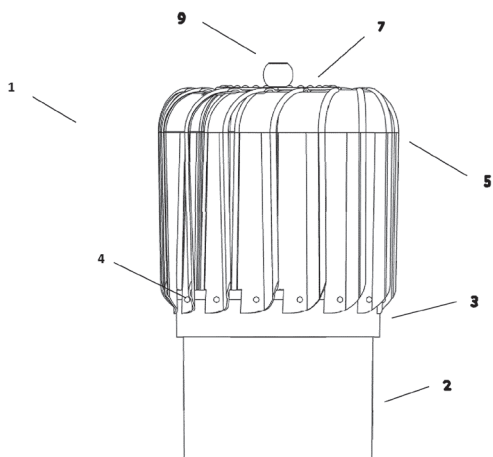
(1 zastrzeżenie)

A1 (21) 439749 (22) 2021 12 06

(51) F24F 7/02 (2006.01)
E04F 17/04 (2006.01)(71) KRONO-PLAST JANUSZKA SPÓŁKA JAWNA, Kłobuck
(72) JANUSZKA BARTŁOMIEJ**(54) Sposób montażu kominka wentylacyjnego oraz kominek wentylacyjny zestawiony tym sposobem**

(57) Przedmiotem zgłoszenia jest sposób montażu kominka wentylacyjnego (1), który charakteryzuje się tym, że obejmuje etapy montowania łożysk i elementów zabezpieczających łożysko na osi, osadzania osi w tulei osadzenia łożyska korpusu (2), zabezpieczenia osi w korpusie (2) przez blokadę osadzenia łożyska i nasunięcie osłony ochronnej, montowania łopatek (5) do dekla (7) za pomocą elementów łączących i trwałego łączenia łopatek (5) z dekle (7) za pomocą zgrzewania, osadzania łopatek (5) z dekle (7) na obrotowej podstawie (3), osadzenia tak zestawionych łopatek (5), dekla (7) i obrotowej podstawy (3) na osi, oraz montowania elementu zabezpieczającego (9) w górnej części osi przeciwległej do korpusu (2). Dodatkowo, przedmiotem zgłoszenia jest kominek wentylacyjny zestawiony tym sposobem.

(13 zastrzeżeń)

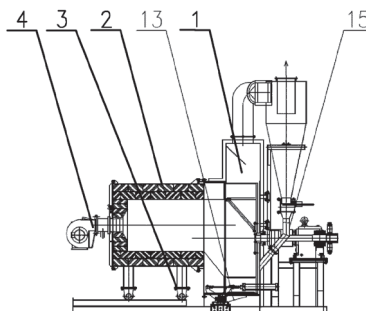


A1 (21) 439782 (22) 2021 12 09

(51) F27B 7/14 (2006.01)
F27B 7/20 (2006.01)
F27B 15/02 (2006.01)
F26B 11/02 (2006.01)(71) PRZEDSIĘBIORSTWO PROJEKTOWO-PRODUKCYJNE
IDEAPRO SPÓŁKA Z OGRANICZONĄ
ODPOWIEDZIALNOŚCIĄ, Nowa Sól
(72) RUDY PIOTR**(54) Kalcynator sekwencyjny**

(57) Kalcynator charakteryzuje się tym, że w komorze kalcynacyjnej (1) osadzone jest obrotowe kaskadowe koło wyposażone na obwodzie w otwarte kieszenie przemieszczania materiału, zaś centralnie w osi bębna kalcynacyjnej komory (1) usytuowany jest przesypowy kosz wyposażony w sondę połączoną z czujnikiem temperatury. Dostarczająca do kalcynacyjnej komory (1) energię cieplną paleniskowa komora (2) z palnikiem (4) stanowi samodzielny rozłączny moduł i wyposażona jest w podpory jezdne (3). Obrotowe kaskadowe koło z otwartymi kieszeniami wykonane jest w formie ażurowej.

(3 zastrzeżenia)



DZIAŁ G

FIZYKA

A1 (21) 439771 (22) 2021 12 08

(51) G01N 21/01 (2006.01)
G06N 3/02 (2006.01)
G06T 7/00 (2017.01)(71) POLITECHNIKA ŁÓDZKA, Łódź
(72) KORZENIEWSKA EWA; GOCLAWSKI JAROSLAW;
SEKULSKA-NALEWAJKO JOANNA**(54) Sposób identyfikacji typu biopaliwa stałego w postaci sprasowanej mieszanki zbóż**

(57) Przedmiotem zgłoszenia jest sposób identyfikacji typu biopaliwa stałego w postaci sprasowanej mieszanki zbóż, który polega na tym, że przed przystąpieniem do identyfikacji próbki biopaliwa dokonuje się kalibracji systemu identyfikacji, która polega na przygotowaniu próbek stosowanych biopaliw stałych w postaci mieszanki zbóż, sprasowanych do postaci pastylek i określeniu kaloryczności przygotowanych próbek, następnie na rejestrowaniu za pomocą kamery cyfrowej zestawu zdjęć powierzchni próbki każdego typu materiału przy zachowaniu rozdzielczości 0,02 mm/piksel w obu wymiarach rastru, dalej na dokonaniu dla każdego typu materiału, który ma być rozpoznawany wyboru po 10 różnych zdjęć jednego typu materiału, w dalszej kolejności na zmniejszeniu każdego wybranego obrazu każdej próbki i następnie poddaniu obróbce wstępnej polegającej na przekształceniu w jednokanałowy obraz luminancji i redukcji nierówności oświetlenia, dalej kalibracja polega na wyliczeniu na każdym obrazie luminancji cech strukturalnych obrazów, takich jak 13 podstawowych cech Haralicka, 3 cech fraktalnej analizy tekstur SFTA wyliczonych dla jednego poziomu progowania obrazu metodą Otsu oraz 32-elementowego histogramu inwariantnych rotacyjnie, lokalnych wzorców binarnych obrazów LBP. Następnie uzyskane

w powyższy sposób dane 48 cech tekstury powierzchni każdego znanego typu biopaliwa wykorzystuje się do uczenia algorytmu klasyfikatora rozpoznawania przynależności badanego biopaliwa do określonej klasy biopaliw. Uczenie klasyfikatora prowadzi się metodą lasów losowych RFC lub przy użyciu sieci neuronowej głębokiej DNN, nadto do uczenia wykorzystuje się algorytm optymalizacyjny średnio-kwadratowej RMSprop i po wykonaniu kalibracji systemu identyfikacji i przeprowadzeniu treningu klasyfikatora, dla każdej identyfikowanej próbki biopaliwa spośród biopaliw wykorzystywanych w procesie kalibracji i uczenia klasyfikatora wyznacza się, postępując jak w procesie kalibracji, 10 zestawów 48 cech tekstury powierzchni, których wartości przesyła się do algorytmu predykcyjnego wytrenowanego klasyfikatora i następnie analizuje 10 odpowiedzi klasyfikatora w postaci przewidywanych klas biopaliw w formie histogramu i przy pomocy algorytmu wyszukuje się klasę o największej ilości odpowiedzi, która jest klasą identyfikowanego biopaliwa.

(4 zastrzeżenia)

A1 (21) 439752 (22) 2021 12 06

(51) G01N 27/26 (2006.01)

G01N 33/487 (2006.01)

(71) POLITECHNIKA ŚLĄSKA, Gliwice;
UNIWERSYTET ŚLĄSKI W KATOWICACH, Katowice

(72) BORYS PRZEMYSŁAW;
WAWRZKIEWICZ-JAŁOWIECKA AGATA; TRYBEK PAULINA

(54) Sposób śledzenia aktywności kanałów jonowych na poziomie molekularnym z wykorzystaniem metody patch-clamp

(57) Przedmiotem zgłoszenia jest sposób śledzenia aktywności kanałów jonowych na poziomie molekularnym metodą patch-clamp, która polega tym, że sygnał w formie szeregu czasowego natężenia prądu przez pojedynczy kanał jonowy, w warunkach eksperymentalnych otrzymany metodą patch-clamp pochodzący z materiału biologicznego, którym jest błona komórkowa bądź błona organelli, lub metodą czarnych błon lipidowych, próbkuje się z częstotliwością od 4 kHz do 100 kHz, następnie filtruje dolnoprzepustowo z częstotliwością nie większą niż 0,5 częstotliwości próbkowania, pomiar prowadzi się w temperaturze pokojowej dla parametrów: wartości potencjału błonowego, naprężeniu błony i stężeniach roztworów po obu jej stronach, niezmiennych podczas pomiaru, dla co najmniej pięciu niezależnych serii zawierających co najmniej 10^5 punktów pomiarowych, lub sygnał otrzymany podczas symulacji komputerowej modelu aktywności pojedynczego kanału jonowego, której wynikiem jest zestaw co najmniej 5 szeregów czasowych zawierających co najmniej 10^5 punktów odpowiadających natężeniom prądu przez pojedynczy kanał lub konformacjom identyfikowanych jako otwarcie i zamknięcia, w funkcji czasu, po czym konstruuje się szeregi czasów trwania kolejnych stanów otwarcia i zamknięcia kanału wraz z ich identyfikacją, następnie tworzy się zbiory podobnych N-elementowych podszeregów typu C-O-C...O i O-C-O...C z szeregu trwania kolejnych stanów kanału, określa ich obsadzenie i odległości w N-wymiarowej przestrzeni fazowej, przy czym jako kryterium podobieństwa podszeregów korzysta się z funkcji korelacji wzajemnej, definiowanej dla szeregów czasowych X_i i Y_i jako stosunek ich kowariancji do iloczynu ich odchyłań standardowych, tj. wzór 1 dla ustalonej długości serii (N) i progu korelacji, podczas wyznaczania wspomnianych zbiorów analizuje się kolejne sekwencje rozpoczynające się od danego stanu kanału, sekwencje typu O-C-O... jako szereg porównawczy dobiera się pierwszą sekwencję, wyklucza indeks pierwszego jej elementu w szeregu wejściowego, następnie wybrany szereg porównawczy porównuje z kolejną niewykluczoną sekwencją, stosując kryterium wartości korelacji wzajemnej pomiędzy podszeregi, przy czym dla wartości korelacji wzajemnej równej lub większej od wprowadzonego progu korelacji, jako nowy szereg porównawczy przyjmuje się szereg, który stanowi średnią ważoną z tych sekwencji do wyczerpania danych wejściowych, po czym wybiera się kolejną sekwencję danego typu i na jej podstawie poszukuje się analogicznie podobnych sekwencji do wyczerpania danych, po wykonaniu tych czynności procedurę powtarza się dla sekwencji rozpoczynających się od innego

stanu kanału - najczęściej typu C-O-C, po wytypowaniu zbiorów podobnych do siebie sekwencji stanów kanału należy sprawdzić ich liczebność oraz wzajemne położenie zbiorów (tworzących klastry) w przestrzeni fazowej, następnie procedurę przeprowadza się ponownie dla innego zestawu parametrów pomiaru (np. stosując inną wartość potencjału) i określa się różnice w położeniach centrów klastrów skorelowanych ze sobą stanów oraz zmiany liczb rozpoznanych klastrów.

(3 zastrzeżenia)

$$R_{XY} = \frac{\sum_{i=1}^N [(X_i^t - \bar{X}_i)(Y_i^t - \bar{Y}_i)]}{\sqrt{\sum_{i=1}^N (X_i^t - \bar{X}_i)^2 \sum_{i=1}^N (Y_i^t - \bar{Y}_i)^2}}$$

WZÓR 1

A1 (21) 439778 (22) 2021 12 08

(51) G01N 27/82 (2006.01)

G01N 27/83 (2006.01)

G01R 33/12 (2006.01)

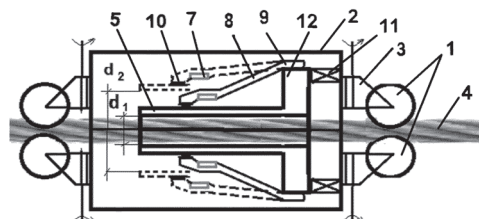
(71) AKADEMIA GÓRNICZO-HUTNICZA
IM.STANISŁAWA STASZICA W KRAKOWIE, Kraków

(72) GRZYBOWSKI JÓZEF; KWAŚNIEWSKI JERZY;
MOLSKI SZYMON

(54) Głowica do pasywnego badania lin stalowych

(57) Głowica do pasywnego badania lin stalowych składająca się z układu prowadzenia ślizgowego lub tocznego zamontowanego do ramy nośnej poprzez układ regulacji dopasowujący układ prowadzenia do badanej średnicy liny charakteryzującą się tym, że do jej ramy nośnej (2) mocowana jest za pomocą uchwyty (11) dwudzielna wymienna tuleja osłonowa (5) z kołnierzem (12), na którym montowany jest dwudzielny układ pozycjonowania z czujnikami magnetometrycznymi (7) umieszczonymi wokół badanej liny (4). Układ pozycjonowania składa się z dwóch otwieranych półpierścieni (9) połączonych zawiasem mocowany na kołnierzu (12) tulei osłonowej (5) przy czym do każdego półpierścienia (9) przymocowane są po obwodzie elastyczne listwy (8) w formie wygiętej do osi tulei osłonowej (5), na których końcach znajdują się czujniki magnetometryczne (7). Układ pozycjonowania ma sprężyste i elastyczne listwy (8), które po zamknięciu półpierścieni (9) na kołnierzu (12) tulei osłonowej (5) pozycjonują czujniki magnetometryczne (7) niezależnie od średnicy tulei osłonowej (5) dobranej do średnicy liny (4) w zakresie od $d_1=20$ mm do $d_2=60$ mm. Na końcu każdej listwy (8) za czujnikiem magnetometrycznym (7) umieszczony jest zderzak (10) ustalający odległość czujnika magnetometrycznego (7) od powierzchni zewnętrznej tulei osłonowej (5) i jednocześnie od badanej liny (4), poprzez sprężyste dopasowanie się listw (8) do dowolnej średnicy zewnętrznej tulei osłonowej (5).

(3 zastrzeżenia)



A1 (21) 439760 (22) 2021 12 07

(51) G01N 33/574 (2006.01)

C07K 5/107 (2006.01)

C12Q 1/37 (2006.01)

(71) URTESTE SPÓŁKA AKCYJNA, Gdańsk

(72) LESNER ADAM; GRUBA NATALIA

(54) Związek - marker diagnostyczny raka płuca, sposób wykrywania aktywności enzymatycznej, sposób diagnozowania raka płuca, zestaw zawierający taki związek oraz zastosowania takiego związku i sposób leczenia raka płuca

(57) Przedmiotem zgłoszenia jest nowy związek chemiczny – marker diagnostyczny – do zastosowania medycznego, dokładniej w diagnostyce nowotworowej, w szczególności w diagnostyce raka płuca. Przedmiotem zgłoszenia jest także sposób in vitro wykrywania aktywności enzymatycznej obecnej w płynie ustrojowym osobnika, w szczególności pochodzącej z komórek raka płuca, z użyciem takiego związku. Przedmiotem zgłoszenia jest ponadto sposób in vitro diagnozowania raka płuca, z użyciem takiego związku, zestaw zawierający taki związek oraz zastosowanie takiego związku do wykrywania aktywności enzymatycznej swoistej dla raka płuca i zastosowanie takiego związku do diagnozowania raka płuca. Przedmiotem zgłoszenia jest także taki związek do zastosowania jako marker diagnostyczny raka płuca oraz o sposób leczenia raka płuca obejmujący etap przeprowadzania sposobu diagnozowania raka płuca jak określono powyżej z zastosowaniem takiego związku.

(29 zastrzeżeń)

A1 (21) 439758 (22) 2021 12 06

(51) G05B 9/05 (2006.01)

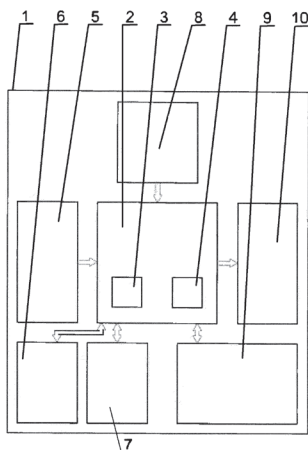
(71) WINTER ARKADIUSZ AWICAM, Przystajń

(72) WINTER ARKADIUSZ

(54) Programowalny sterownik logiczny

(57) Przedmiotem zgłoszenia jest programowalny sterownik logiczny, który ma mikrokontroler (2) względnie mikroprocesor (2a) z pamięcią (3) oraz peryferiami (4), w którym to tak mikroprocesor (2), jak i mikrokontroler (2) jest oparty o architekturę RISC-V*. Programowalny sterownik logiczny (1) ma też przynajmniej jedno wejście (5), ma też przynajmniej jedno złącze komunikacyjne (6). Programowalny sterownik logiczny (1) ma również przynajmniej jedno złącze programujące (7) oraz ma układ zasilacza (8) ze źródłem zasilania, zarazem programowalny sterownik (1) ma przynajmniej jedno wyjście (10) aktuatora.

(17 zastrzeżeń)



A1 (21) 439801 (22) 2021 12 10

(51) G06T 7/11 (2017.01)

G01N 33/00 (2006.01)

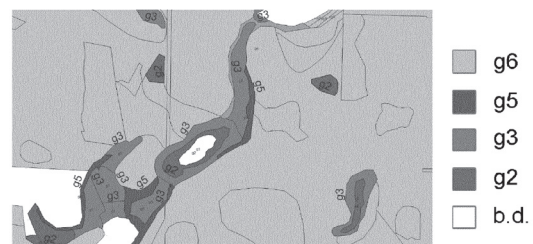
(71) UNIWERSYTET IM. ADAMA MICKIEWICZA
W POZNANIU, Poznań;
UNIWERSYTET PRZYRODNICZY W POZNANIU, Poznań

(72) MŁYNARCZYK ADAM; KRÓLEWICZ SŁAWOMIR;
RUTKOWSKI PAWEŁ; KONATOWSKA MONIKA;
PIEKARCZYK JAN

(54) Sposób wyznaczania stopni uwilgotnienia lasu na podstawie zdjęć satelitarnych

(57) Przedmiotem zgłoszenia jest sposób wyznaczania stopni uwilgotnienia siedlisk leśnych na podstawie indeksu biofizycznego obliczanego na podstawie spektralnych danych obrazowych rejestrowanych z pułapu satelitarnego. Sposób wyznaczania stopni uwilgotnienia lasu, polega na tym, że w pierwszym kroku pobiera się dane o siedliskach leśnych zwłaszcza zalesione powierzchnie, dalej obszar ustala się na podstawie liczby grup uwilgotnienia g1-g7, tak aby w każdej grupie uwilgotnienia znalazło się co najmniej 10 wydzieli o powierzchni powyżej 1 ha, przy czym z analizy usuwa się wydzielenia, w których dokonano zrębu oraz nasadzeń w okresie ostatnich 15 lat, dalej skalibrowane spektralne dane satelitarne o wysokiej rozdzielczości korzystnie Sentinel-2 poziomu L2A, gdzie dane obrazowe zawierają co najmniej dwa kanały spektralne – czerwony 660nm i podczerwony 850nm, kafle pokrywające obszar badawczy z niską pokrywą chmur, przy czym dla wydzielenia z mapy siedliskowej i zdjęć satelitarnych liczy się spektralne uśrednione statystyki obrazowe, uśrednia się wartości pikseli dla kanałów czerwonego i podczerwonego, które znajdują się na mapie siedliskowej dla każdego wydzielenia osobno, a następnie wyliczoną wartość przypisuje się każdemu wydzieleniu, w ramach obszaru badawczego, następnie oblicza się znormalizowany różnicowy wskaźnik wegetacji – NDVI wg wzoru $NDVI = (NIR - RED) / (NIR + RED)$ gdzie za parametr NIR podstawia się wartość z kanału podczerwonego, a pod RED z kanału czerwonego, który przypisuje się każdemu wydzieleniu z mapy siedliskowej, a następnie dla każdego stopnia uwilgotnienia g1, g2, ..., g7 osobno uśrednia się wszystkie uzyskane wartości NDVI oraz oblicza się w znany sposób odchylenie standardowe z wartości NDVI przypisując ją wydzieleniem w ten sam sposób jak wartości średnich oraz wybiera się dla nich maksymalne odchylenie standardowe, a następnie ocenia się model sprawdzając czy suma kolejnych wartości stopnia uwilgotnienia i odchylenia standardowego jest mniejsza od różnicy kolejnego stopnia uwilgotnienia i odchylenia standardowego dla współczynnika, a większego od zera lub różnica stopnia uwilgotnienia i odchylenia standardowego jest większa od sumy wartości kolejnego stopnia uwilgotnienia i odchylenia standardowego dla współczynnika, a mniejszego od zera, a następnie wykonuje się mapę gdzie warstwą podkładową jest znormalizowany różnicowy wskaźnik wegetacyjny NDVI z naniesionymi siedliskami leśnymi stanowiący produkt końcowy.

(1 zastrzeżenie)



DZIAŁ H

ELEKTROTECHNIKA

A1 (21) 439766 (22) 2021 12 07

(51) H01M 50/569 (2021.01)

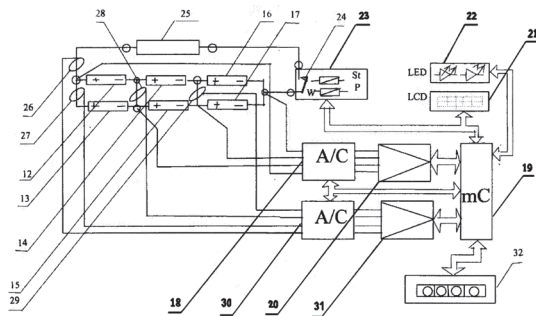
H01M 10/48 (2006.01)

H01M 10/42 (2006.01)

- (71) PIECZEWSKI KRZYSZTOF, Częstochowa;
TYBURCY EDWARD, Ostrów Wielkopolski
- (72) TYBURCY EDWARD; PIECZEWSKI KRZYSZTOF
- (54) **Urządzenie umożliwiające konstrukcję magazynów energii o dużej wydajności prądowej i wybranych napięciach znamionowych z akumulatorów, szczególnie litowych**

(57) Przedmiotem zgłoszenia jest urządzenie umożliwiające konstrukcję magazynów energii o dużej wydajności prądowej i wybranych napięciach znamionowych z akumulatorów, szczególnie litowych charakteryzujące się tym, że umożliwia łączenie ze sobą akumulatorów w zależności od wymagań szeregowo i równoległe, wielokrotnie bez ich uszkodzenia za pomocą złącz rozłącznych, pomiary i kontrola przepływających między akumulatorami prądów wyrównawczych oraz prądów ładowania i rozładowania magazynu energii odbywa się za pomocą czujników prądowych z efektem Halla. Analogowe sygnały pomiarowe są zamieniane na postać cyfrową za pomocą przetworników (18) i (30) A/C a następnie przez multiplexery (20) i (31) są podawane na mikrokomputer (19) nadzorujący sposób działania urządzenia. Przebieg pomiarów prądów i napięć oraz miejsca ich wykonania są przedstawione na wyświetlaczu (21) ciekłokrystalicznym. Mikrokomputer (19) steruje sygnalizatorami (22) LED zielonym i czerwonym poprawności działania magazynu energii oraz w razie zagrożenia uszkodzeniem magazynu energii steruje zespołem (23) przekaźnikowo stycznikowym odłączając obciążenie lub ładowarkę magazynu.

(3 zastrzeżenia)

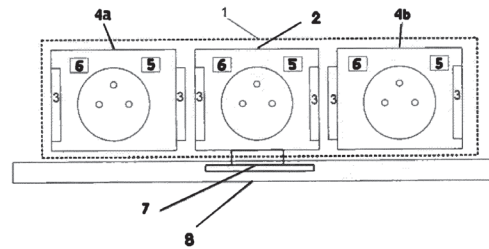


A1 (21) 439802 (22) 2021 12 09

- (51) H01R 25/14 (2006.01)
H01R 13/514 (2006.01)
H01R 13/717 (2006.01)
H01R 13/66 (2006.01)
- (71) UNIWERSYTET TECHNOLOGICZNO-HUMANISTYCZNY IM. KAZIMIERZA PUŁASKIEGO W RADOMIU, Radom
- (72) ŁUKASIK ZBIGNIEW;
KUŚMIŃSKA-FIJAŁKOWSKA ALDONA; KOZYRA JACEK
- (54) **System modułowego przemieszczania gniazd elektrycznych**

(57) System modułowego przemieszczania gniazd elektrycznych charakteryzuje się tym, że zawiera przesuwne mobilne modułowe gniazdo bazowe (2), wraz z dwoma trój - pinowymi złączami przyłączeniowymi dla lewych i prawych modułów gniazd bocznych (4a) i (4b), wskaźnik LED z aktywnym systemem regulacji natężenia świecenia (5) oraz moduł WiFi (6), system aktywnego przemieszczania z zespołem mocowania (7), przy czym system aktywnego przemieszczania jest zintegrowany z listwą przypodłogową (8) a modułowe gniazda boczne lewe i prawe (4a) i (4b) posiadają po dwa trój - pinowe złącza przyłączeniowe, wskaźnik LED z aktywnym systemem regulacji natężenia świecenia (5) oraz moduł WiFi (6).

(1 zastrzeżenie)

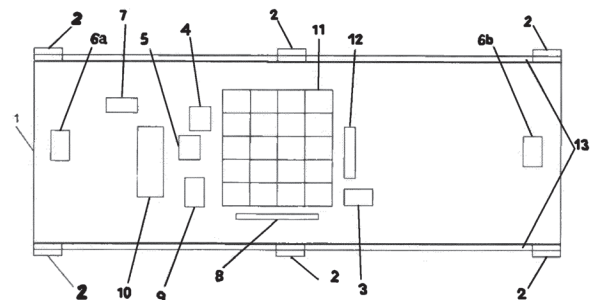


A1 (21) 439789 (22) 2021 12 09

- (51) H04L 12/00 (2006.01)
H04M 1/724 (2021.01)
H04M 1/725 (2021.01)
H04R 1/00 (2006.01)
H04R 3/00 (2006.01)
- (71) UNIWERSYTET TECHNOLOGICZNO-HUMANISTYCZNY IM. KAZIMIERZA PUŁASKIEGO, Radom
- (72) ŁUKASIK ZBIGNIEW; KOZYRA JACEK;
KUŚMIŃSKA-FIJAŁKOWSKA ALDONA
- (54) **Moduł integracji sterowania odtwarzaniem muzyki oraz funkcji komunikacji telefonicznej i internetowej w słuchawkach bezprzewodowych**

(57) Moduł integracji sterowania odtwarzaniem muzyki oraz funkcji komunikacji telefonicznej i internetowej w słuchawkach bezprzewodowych charakteryzuje się tym, że zawiera uchwyty mocujące integrator do słuchawek bezprzewodowych (2), wraz z zestawem taśm odblaskowych (13), stałą pamięć w postaci karty micro SD niezbędną do gromadzenia plików muzycznych kontaktów telefonicznych i adresów e-mail (3), przełącznik głośności odtwarzanej muzyki i komunikatów głosowych oraz rozmów telefonicznych (4), przełącznika wyłączenia i włączenia utworów muzycznych (5), przełączniki do zmiany kolejności odtwarzanych utworów muzycznych oraz wybierania kontaktów telefonicznych i adresów e-mail (6a) i (6b), moduł 3G z kartą SIM umożliwiającą komunikowanie się z Internetem (7), czujnik zbliżania się obiektu ruchomego z funkcją intensywności głośności (8), moduł sterowania funkcjami głosowymi (9) oraz układ sterowania i zarządzania modułem integracji z funkcją bluetooth (10), a także moduł fotowoltaiczny (11) przeznaczony do ładowania akumulatora (12) zawierającego gniazdo micro USB. Korzystnym jest, jeśli moduł integracji sterowania zawiera sterowane ruchami głowy lub funkcjami głosowymi przełączniki: głośności odtwarzanej muzyki i komunikatów głosowych oraz rozmów telefonicznych a także odbierania i wysyłania wiadomości sms i poczty internetowej (4), wyłączenia i włączania utworów muzycznych (5), zmiany kolejności odtwarzanych utworów muzycznych oraz wybierania kontaktów telefonicznych i adresów e-mail (6a) i (6b).

(2 zastrzeżenia)



II. WZORY UŻYTKOWE

DZIAŁ A

PODSTAWOWE POTRZEBY LUDZKIE

U1 (21) 130440 (22) 2021 12 06

(51) A62C 2/10 (2006.01)

A62C 2/16 (2006.01)

E06B 5/16 (2006.01)

E06B 9/11 (2006.01)

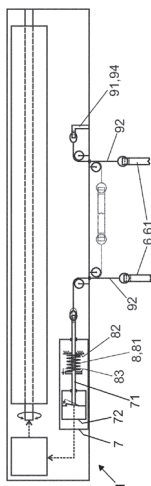
(71) GLOBAL SYSTEM SPÓŁKA Z OGRANICZONĄ ODPOWIEDZIALNOŚCIĄ, Brzezna

(72) JAWOR WOJCIECH

(54) Zespół kurtyny rolowanej, w szczególności zespół przeciwdymowej i/lub przeciwogniowej kurtyny rolowanej

(57) Przedmiotem zgłoszenia jest zespół kurtyny rolowanej (1), w szczególności zespół przeciwdymowej i/lub przeciwogniowej kurtyny rolowanej, zawierający obudowę, płaszcz nawijany na wałek nawojowy obracany za pośrednictwem układu napędowego oraz zamek topikowy (6), którego otwarcie uruchamia odwijanie płaszcza z wałka nawojowego. Celem zapewnienia wysokiej niezawodności działania taki zespół kurtyny rolowanej (1) dodatkowo zawiera przełącznik elektryczny (7) sterujący pracą układu napędowego wałka nawojowego płaszcza i zawierający człon przełączający (71), który jest sprzężony mechanicznie z łącznikiem elektrycznym (72) i którego położenie determinuje stan łączniowy tego łącznika elektrycznego (72), który może być stanem aktywacji powodującym uruchomienie układu napędowego dla odwijania płaszcza z wałka nawojowego lub stanem deaktywacji nie powodującym uruchomienia układu napędowego; przy czym zamek topikowy (6) w stanie zamkniętym jest sprzężony mechanicznie z członem przełączającym (71) przełącznika elektrycznego (7) oraz utrzymuje w tym stanie zamkniętym ten człon przełączający (71) w pozycji odpowiadającej stanowi deaktywacji łącznika elektrycznego (72); oraz układ samo powrotu (8) członu przełączającego (71) przełącznika elektrycznego (7) do pozycji odpowiadającej stanowi aktywacji łącznika elektrycznego (72).

(6 zastrzeżeń)



DZIAŁ B

RÓŻNE PROCESY PRZEMYSŁOWE; TRANSPORT

U1 (21) 131135 (22) 2022 12 09

(51) B43K 27/04 (2006.01)

B43K 19/02 (2006.01)

(31) 2021-39458 (32) 2021 12 10 (33) CZ

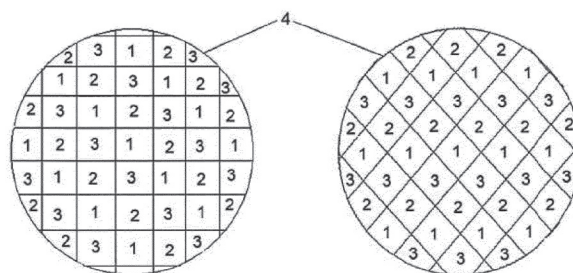
(71) KOH-I-NOOR HARDTMUTH A.S., České Budějovice, CZ

(72) BŘÍŽA VLASTISLAV, CZ

(54) Narzędzie do pisania i rysowania

(57) Narzędzie do pisania i rysowania z pastelowym cylindrycznym rysikiem (4), składający się z przechodzących podłużnych części zasadniczo równoległych do osi rysika, gdzie części są utworzone przez pierwszy odcień koloru, części są utworzone przez drugi odcień koloru, a części są utworzone przez trzeci odcień koloru, przy czym odcienie pierwszy, drugi i trzeci kolorów są wzajemnie różne, charakteryzuje się tym, że odcienie pierwszy, drugi i trzeci kolorów mieszczą się w obszarze przestrzeni kolorów od C1 do C6 systemu kolorymetrycznego CIELAB 1976 przy standardowym oświetleniu D65 i punkcie widzenia 10° dodatkowego standardowego obserwatora, przy czym: pierwszy odcień koloru i drugi odcień koloru mieszczą się w tym samym obszarze przestrzeni kolorów CIELAB; oraz trzeci odcień koloru mieści się albo w tym samym obszarze przestrzeni kolorów CIELAB, co odcienie pierwszy i drugi koloru, albo mieści się w innym obszarze przestrzeni kolorów CIELAB niż odcienie pierwszy i drugi koloru.

(6 zastrzeżeń)



U1 (21) 131118 (22) 2022 12 02

(51) B60N 2/22 (2006.01)

B60N 2/68 (2006.01)

B61D 33/00 (2006.01)

(31) 2021-39444 (32) 2021 12 06 (33) CZ

(71) Borcad Cz s.r.o., Fryčovice, CZ

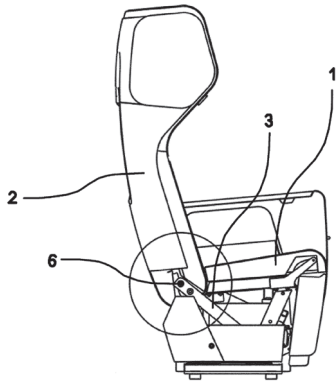
(72) MIL PETR, CZ; HONEK ADAM, CZ

(54) Fotel do pociągu

(57) Zgłoszenie dotyczy fotela do pociągu, który to fotel zawiera siedzisko (1), oparcie (2) i ramę (3) fotela przystosowaną do mocowania fotela do podłogi pociągu. Siedzisko (1) zawiera ramę siedziska, zaś oparcie (2) zawiera ramę oparcia. Ponadto rama siedziska i rama oparcia są obrotowo połączone z ramą (3) fotela. Obrotowe połączenie (6) pomiędzy ramą (4) siedziska a ramą (3) fotela oraz obrotowe połączenie (6) pomiędzy ramą oparcia a ramą (3) fotela mają wspólną oś obrót. W jednej z postaci fotel do pociągu zawiera

ponadto podnózek, przy czym podnózek jest obrotowo połączony z ramą siedziska lub ramą (3) fotela. Podnózek może zawierać także co najmniej dwa wzajemnie przesuwające się łączniki do teleskopowej regulacji długości podnóżka.

(7 zastrzeżeń)



DZIAŁ F

MECHANIKA; OŚWIETLENIE; OGRZEWANIE; UZBROJENIE; TECHNIKA MINERSKA

U1 (21) 130441 (22) 2021 12 06

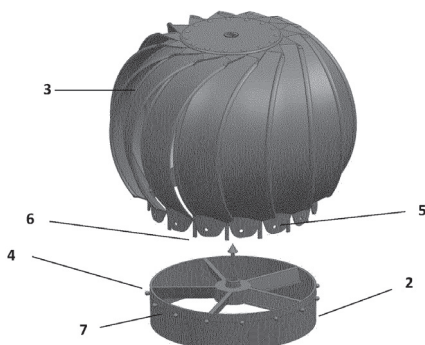
(51) F23L 17/10 (2006.01)
F24F 7/02 (2006.01)

(71) KRONO-PLAST JANUSZKA SPÓŁKA JAWNA, Kłobuck
(72) JANUSZKA BARTŁOMIEJ

(54) Mechanizm łączący do kominka wentylacyjnego

(57) Przedmiotem zgłoszenia jest mechanizm łączący do kominka wentylacyjnego. Mechanizm charakteryzuje się tym, że zawiera obrotową podstawę (2) z występami (4), przy czym występy (4) mają kształt przypominający grzybek i są rozmieszczone w równych odstępach na obrotowej podstawie (2), przy górnej jej krawędzi oraz łopatki (3) zawierające otwory (5) przeznaczone do umieszczenia w nich występów (4) i elementy ustalające (6) położenie łopatki (3) na pierścieniu obrotowym (7), przy czym występy (4) mocują łopatki (3) do obrotowej podstawy (2) od strony bliższej, zaś elementy ustalające (6) od strony dalszej.

(3 zastrzeżenia)



U1 (21) 130443 (22) 2021 12 06

(51) F24S 25/67 (2018.01)
F24S 25/10 (2018.01)
F24S 25/16 (2018.01)
F24S 25/12 (2018.01)
F24S 25/634 (2018.01)

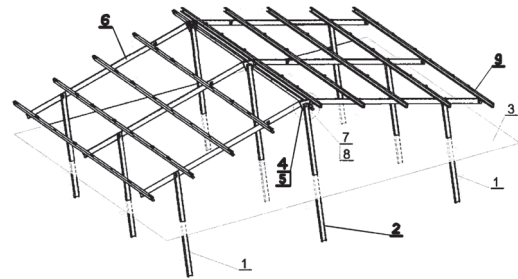
(71) CORAB SPÓŁKA AKCYJNA, Olsztyn

(72) BIAŁY HENRYK

(54) Konstrukcja wsporcza paneli fotowoltaicznych mocowanych w gruncie

(57) Przedmiotem zgłoszenia jest konstrukcja wsporcza paneli fotowoltaicznych mocowanych w gruncie, tworząca dwuspadowy układ paneli fotowoltaicznych. Konstrukcja składająca się z dwóch zestawów zewnętrznych podpór i jednego zestawu środkowych podpór o różnicowanej wysokości i osadzonych w sposób trwały w gruncie, gdzie do podpór środkowych w górnej ich części przymocowany jest zwornik łączący, do którego obustronnie zamocowane są skośnie profile łączące środkowe podpory z zewnętrznymi podporami w sposób rozłączny, a do skośnie biegnących profili w kształcie ceownika zamocowane są poziomo i równoległe biegnące profile, charakteryzuje się tym, że łączący zwornik (4) zamocowany w górnej części środkowych podpór (2), do których obustronnie zamocowane są skośnie biegnące profile (6) jest w kształcie trapezu z zagiętymi skośnymi bokami (5), a poziomo i równoległe biegnące profile (9) zamocowane do skośnie biegnących profili (6) są o przekroju poprzecznym w kształcie ceownika zbliżonego do litery „C”.

(1 zastrzeżenie)



DZIAŁ G

FIZYKA

U1 (21) 130445 (22) 2021 12 09

(51) G04B 19/10 (2006.01)
G04B 19/28 (2006.01)
G04B 45/00 (2006.01)

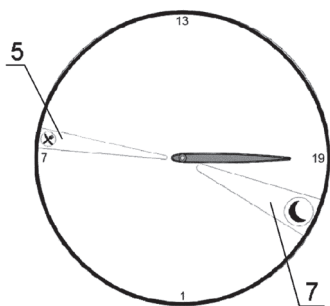
(71) SMART DAY PLANNER SPÓŁKA Z OGRANICZONĄ
ODPOWIEDZIALNOŚCIĄ, Białystok
(72) BEJM STANISŁAW; ŻUKOWSKI KAROL

(54) Zegarowy planer magnetyczny

(57) Przedmiotem zgłoszenia jest zegarowy planer magnetyczny z ruchomymi elementami. Zegarowy planer magnetyczny zawierający magnetyczną tarczę z oznaczeniami godzin na obwodzie oraz moduły (5, 7) z grafiką wykonywanych czynności i wydarzeń oraz wskazówkę godzinową charakteryzuje się tym, że tarcza magnetyczna podzielona jest w poziomie na dwie równe części, z których górna symbolizująca dzień posiada oznaczenia godzinowe o nu-

meracji od 7÷19, a dolna symbolizująca noc posiada oznaczenia godzinowe o numeracji od 19÷7. Do magnetycznej tarczy wzdłuż jej promienia przymocowane są moduły magnetyczne (5, 7) o postaci wydłużonego trójkąta, które w podstawie posiadają grafikę wpisaną w okrąg. Moduły magnetyczne (5, 7) odpowiadające czasowej czynności posiadają różne szerokości, z których moduł odpowiadający czasowo co najmniej godzinowej czynności (7) jest dwa razy szerszy od modułu (5) odpowiadającego czasowo minutowej czynności. Zegarowy planer magnetyczny posiada mechanizm zegarowy 24-godzinny zasilania bateryjnego.

(4 zastrzeżenia)



U1 (21) 130444 (22) 2021 12 08

(51) G09F 3/10 (2006.01)

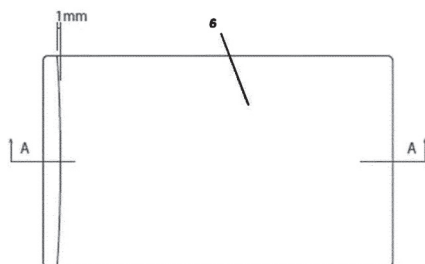
G09F 3/02 (2006.01)

(71) NOVACODE SPÓŁKA Z OGRANICZONĄ ODPOWIEDZIALNOŚCIĄ, Kruszyn Krajeński

(72) KULIKOWSKA-RUGE ANNA; TROKOWSKI ŁUKASZ

(54) **Etykieta wielowarstwowa typu peel-off**

(57) Etykieta wielowarstwowa zawierająca nadrukowane informacje i obejmująca etykietę dolną, która składa się z podłoża od dołu pokrytego klejem, a od góry pokrytego warstwą graficzną zawierającą informacje, oraz warstwy lakieru przykrywającego część powierzchni warstwy graficznej oraz etykietę górną, która składa się z podłoża od dołu pokrytego klejem, a od góry pokrytego warstwą graficzną zawierającą informacje. Wzór charakteryzuje się tym,



że granica warstwy lakieru (6) dolnej etykiety przy jednym brzegu etykiety ma kształt linii krzywej lub łamanej. Etykieta górna posiada dodatkową warstwę zasłaniającą wykonaną białą farbą.

(7 zastrzeżeń)

DZIAŁ H

ELEKTROTECHNIKA

U1 (21) 130442 (22) 2021 12 06

(51) H02B 5/02 (2006.01)

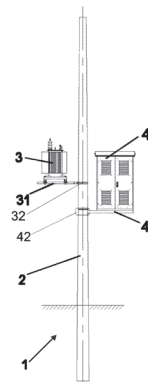
(71) ZPUE SPÓŁKA AKCYJNA, Włoszczowa

(72) WYPYCHEWICZ MICHAŁ; WYPYCHEWICZ BOGUSŁAW

(54) **Słup elektroenergetyczny**

(57) Przedmiotem zgłoszenia jest słup elektroenergetyczny (1) zawierający żerdź słupową (2), oraz jednostkę transformatorową (3) znajdującą się na pierwszym wsporniku montażowym (31) zamocowanym do rzecznej żerdzi słupowej (2), który charakteryzuje się tym, że zawiera dodatkowo magazyn energii elektrycznej (4), korzystnie zawierający dodatkowo jednostkę chłodzenia znajdującą się na drugim wsporniku montażowym (41) zamocowanym do rzecznej żerdzi słupowej (2) po przeciwnej stronie tej żerdzi (2) względem rzecznej jednostki transformatorowej (3).

(9 zastrzeżeń)



III. WYKAZY

WYKAZ NUMEROWY WYNALEZKÓW ZGŁOSZONYCH W TRYBIE KRAJOWYM

Nr zgłoszenia	Int. Cl.	Strona
1	2	3
439742	C12P (2006.01)	14
439745	C01C (2006.01)	12
439746	C07F (2006.01)	14
439747	F23G (2006.01)	18
439748	A61K (2006.01)	10
439749	F24F (2006.01)	19
439751	B60M (2006.01)	11
439752	G01N (2006.01)	20
439753	C07C (2006.01)	13
439754	A47G (2006.01)	7
439755	A47J (2006.01)	7
439757	E01D (2006.01)	15
439758	G05B (2006.01)	21
439760	G01N (2006.01)	20
439762	E21F (2006.01)	16
439763	A01B (2006.01)	5
439764	A61H (2006.01)	9
439765	F16C (2006.01)	17
439766	H01M (2021.01)	21
439767	A23L (2016.01)	6

Nr zgłoszenia	Int. Cl.	Strona
1	2	3
439768	A23L (2016.01)	6
439769	A23L (2016.01)	7
439770	A23L (2016.01)	7
439771	G01N (2006.01)	19
439772	E04F (2006.01)	15
439773	D06N (2006.01)	15
439774	B66B (2006.01)	12
439775	A61H (2006.01)	9
439776	F02K (2006.01)	17
439777	A01B (2006.01)	5
439778	G01N (2006.01)	20
439779	B62D (2006.01)	12
439780	A61K (2006.01)	10
439781	A61G (2006.01)	9
439782	F27B (2006.01)	19
439783	E04F (2006.01)	16
439784	E21D (2006.01)	16
439786	C07C (2006.01)	13
439787	E03C (2006.01)	15
439788	C12Q (2018.01)	14

Nr zgłoszenia	Int. Cl.	Strona
1	2	3
439789	H04L (2006.01)	22
439790	F16B (2006.01)	17
439791	C04B (2006.01)	13
439792	C04B (2006.01)	13
439793	F16J (2006.01)	18
439794	F16C (2006.01)	18
439795	A01C (2006.01)	5
439796	B60G (2006.01)	11
439797	A01C (2006.01)	6
439798	C07C (2006.01)	13
439799	C07D (2006.01)	14
439800	B01J (2006.01)	11
439801	G06T (2017.01)	21
439802	H01R (2006.01)	22
439803	A61B (2006.01)	8
439804	A61C (2006.01)	9
439805	B29C (2017.01)	11
439806	B01D (2006.01)	10
439810	A47L (2006.01)	8

WYKAZ NUMEROWY WZORÓW UŻYTKOWYCH ZGŁOSZONYCH W TRYBIE KRAJOWYM

Nr zgłoszenia	Int. Cl.	Strona
1	2	3
130440	A62C (2006.01)	23
130441	F23L (2006.01)	24
130442	H02B (2006.01)	25

Nr zgłoszenia	Int. Cl.	Strona
1	2	3
130443	F24S (2018.01)	24
130444	G09F (2006.01)	25
130445	G04B (2006.01)	24

Nr zgłoszenia	Int. Cl.	Strona
1	2	3
131118	B60N (2006.01)	23
131135	B43K (2006.01)	23

IV. INFORMACJE

INFORMACJA O ZŁOŻENIU TŁUMACZENIA NA JĘZYK POLSKI ZASTRZEŻEŃ PATENTOWYCH EUROPEJSKIEGO ZGŁOSZENIA PATENTOWEGO

Poniższe zestawienie zawiera: numer zgłoszenia europejskiego, klasy według międzynarodowej klasyfikacji patentowej, zgłaszającego, tytuł (w języku polskim)

20789656.4

C05F 11/00 (2006.01)

C05G 5/27 (2020.01)

A01N 65/03 (2009.01)

C12N 1/00 (2006.01)

UPL Mauritius Limited

UPL Europe Ltd

Zatężony wyciąg z alg